9/2026

Zpravodaj

Českého hydrometeorologického ústavu



Pobočka Ostrava

Český hydrometeorologický ústav

Obsah

Synoptická situace, charakter proudění a počasí 2

Teploty vzduchu 5

Srážky 9

Hydrologická situace 13

Povodí Odry 13

Povodí horní Moravy 18

Povodí Bečvy 20

Vyhodnocení stavu podzemních vod v září 2026 24

Mělké vrty 24

Prameny 26

Hluboké vrty 29

Kvalita ovzduší 30

Suspendované částice 30

Plynné znečišťující látky 34

Nové předpovědní profily na stránkách Hlásné a předpovědní povodňové služby 38

Zpracovali: Ing. Daniel Hladký
Mgr. Alena Kamínková
Ing. Veronika Šustková
Ing. Petra Šutarová, Ph.D.
Mgr. Vojtěch Umlauf

Zpravodaj, vydává Český hydrometeorologický ústav, pobočka Ostrava, K Myslivně 3/2182, 708 00 Ostrava. Informace a údaje uvedené v tomto materiálu neprošly předepsanou kontrolou a autorizací, jedná se o operativní data. Zpravodaj má informativní charakter, nelze použít jako úřední dokument. Neprošlo jazykovou úpravou. Neprodejný výtisk.

Synoptická situace, charakter proudění a počasí

Září 2026 mělo v oblasti Atlantik – Evropa cirkulaci převážně smíšeného charakteru. V první dekádě se frontální zóna nacházela častěji v severní Evropě, ale občas se přesouvala k jihu až do střední Evropy. V druhé dekádě přes střední Evropu od severozápadu až západu častěji přecházely studené a okluzní fronty. V závěrečné dekádě nabylo proudění v prostoru Atlantik – Evropa postupně výrazně meridionálního charakteru, střední Evropu nevyjímaje.

Začátkem měsíce do střední Evropy od jihozápadu zasahoval výběžek vyššího tlaku vzduchu. V polovině dekády přešla přes naše území k jihovýchodu studená fronta. Za ní se přes střední Evropu k východu přesunula tlaková výše a po její zadní straně k nám od jihozápadu proudil teplý vzduch. V závěru dekády přes území naší republiky od západu přešla zvlněná studená fronta.

Na začátku druhé dekády do střední Evropy od jihozápadu zasahovala nevýrazná oblast vyššího tlaku vzduchu. Během období přes naše území od severozápadu až západu postupně přecházely frontální systémy, respektive studené fronty, střídané výběžky vyššího tlaku vzduchu.

První polovina třetí zářijové dekády se vyznačovala chladným a vlhkým prouděním od severozápadu až severu mezi přední stranou tlakové výše nad západní Evropou a tlakovou níží nad východní Evropou. Ve druhé polovině dekády se v severovýchodním Atlantiku vyskytovala hluboká tlaková níže a nad severovýchodní a východní Evropou mohutná tlaková výše. V této době ve střední Evropě nastalo tak zvané babí léto, jelikož do regionu z jižních směrů proudil teplý a suchý vzduch, a to v nižších i středních vrstvách troposféry.

Moravskoslezský kraj

Podle předběžných výsledků byla průměrná měsíční teplota vzduchu v Moravskoslezském kraji 13,9 °C, což je o 1,0 °C vyšší hodnota než teplotní normál 1991–2020, měsíc září byl v kraji hodnocen jako teplotně normální. V Ostravě, Porubě byla průměrná měsíční teplota vzduchu 15,2 °C, což je tepleji oproti normálu o 1,1 °C. Na Lysé hoře byla v září průměrná teplota vzduchu 9,7 °C (o 1,2 °C tepleji než normál). Nejvyšší průměrnou měsíční teplotu vzduchu v září zaznamenaly stanice Chuchelná, Frýdek-Místek, Sviadnov a Slezská Ostrava (15,8 °C), druhá nejvyšší hodnota, 15,6 °C, byla na stanici Mošnov, a třetí nejvyšší průměrná teplota vzduchu byla naměřena na stanicích Bohumín a Karviná (15,3 °C). Průměrně nejchladněji bylo v září na stanici Praděd (7,8 °C). Druhá nejnižší průměrná teplota vzduchu byla v kraji změřena na Jelení studánce (9,4 °C) a třetí na stanici Lysá hora (9,7 °C). V září byl nejteplejší 8. den měsíce, s průměrnou teplotou vzduchu v kraji 20,9 °C. Nejvyšší denní průměrná teplota vzduchu na stanici (25,7 °C) byla naměřena v tento den na stanici Mořkov. Nejchladnějším dnem bylo 23. září, s průměrnou teplotou vzduchu v kraji 7,4 °C. Nejnižší denní průměrná teplota vzduchu na stanici byla zaznamenána v tento den na stanici Praděd (1,8 °C). Nejvyšší maximální teplota vzduchu, 32,2, °C, byla zaznamenána dne 9. září na stanici Karviná. Nejnižší hodnota maximální teploty vzduchu (3,7 °C) byla naměřena dne 23. září na Pradědu. Nejnižší minimální teplota vzduchu, 0,6 °C, byla změřena 24. září na stanici Světlá Hora. Nejvyšší hodnota minimální teploty vzduchu, 20,0 °C, byla změřena dne 9. září na stanici Václavovice. Nejnižší minimální přízemní teplota vzduchu, −3,0 °C, byla změřena 24. září na stanici Bílá, Salajka.

V MS kraji spadlo průměrně 68 mm srážek, což je 82 % normálu 1991–2020, měsíc září byl srážkově normální. V Ostravě, Porubě jsme v září naměřili 47,8 mm srážek (64 % normálu). Na Lysé hoře jsme naměřili 155,0 mm, což odpovídá 106 % normálu a byl to nejvyšší měsíční úhrn srážek v kraji. Druhý nejvyšší úhrn zaznamenala stanice Ostravice (134,0 mm) a třetí nejvyšší stanice Ostravice, Hamerník (123,9 mm). Nejméně srážek spadlo na stanicích Odry (39,3 mm), Fulnek (39,4 mm) a Ostrava, Petřkovice (43,6 mm). Nejvyšší denní úhrn srážek, 38,6 mm, zaznamenala stanice Dlouhá Stráň dne 9. září.

V kraji svítilo slunce průměrně 183,8 hodin. Nejvíce svítilo slunce na stanicích Mošnov (206,2 hod.), Červená (195,2 hod.) a Krnov (188,1 hod.), nejméně na stanicích Světlá Hora (95,8 hod.), Bohumín (141 hod.) a Praděd (150 hod.). Nejvyšší denní úhrn slunečního svitu, 12,5 hod., jsme zaznamenali na stanici Lysá hora dne 8. září. Z hlediska průměrných rychlostí větru na všech stanicích v kraji byl největrnější den 9. září. Nejvyšší maximální rychlosti větru zaznamenala stanice Praděd (24,5 $m.s^{-1}$ 20. a 21. září a 22,5 $m.s^{-1}$ 8. září). V Ostravě, Porubě dosáhl vítr maximální rychlosti 11,3 $m.s^{-1}$ dne 9. září.

Olomoucký kraj

Olomoucký kraj s průměrnou měsíční teplotou vzduchu 14,1 °C byl o 1,0 °C vyšší než krajový normál 1991–2020. Měsíc září byl v kraji klasifikován jako teplotně normální. Olomouc měla průměrnou měsíční teplotu vzduchu 16,0 °C (o 1,3 tepleji než normál). V Šumperku jsme zaznamenali průměrnou měsíční teplotu vzduchu 13,5 °C (o 0,4 °C tepleji než normál) a na Šeráku byla v září průměrná teplota vzduchu 8,8 °C (o 0,4 °C tepleji než normál). Nejvyšší průměrná měsíční teplota vzduchu v kraji byla naměřena na stanicích Javorník, Olomouc, Holice a Šternberk (16,0 °C), druhá nejvyšší na stanici Paseka (15,8 °C) a třetí nejvyšší na stanici Přerov (15,7 °C). Průměrně nejchladněji bylo v září na Malém Dědu (8,5 °C). Druhá nejnižší průměrná teplota vzduchu byla zaznamenána na Šeráku (8,8 °C). Na Paprsku byla zaznamenána třetí nejnižší průměrná teplota vzduchu (11,0 °C). V září byl v kraji nejteplejší 8. den měsíce s průměrnou teplotou vzduchu v kraji 21,4 °C. Nejvyšší denní průměrná teplota vzduchu na stanici byla naměřena tento den v Javorníku (25,3 °C). Nejchladnějším dnem bylo 23. září, s průměrnou teplotou vzduchu v kraji 7,9 °C. Nejnižší hodnota denní průměrné teploty vzduchu (2,5 °C) byla 23. září na Malém Dědu. Nejvyšší maximální teplota vzduchu, 31,9 °C, byla zaznamenána dne 8. září na stanici Šternberk. Nejnižší hodnota maximální teploty vzduchu (4,3 °C) byla naměřena ve dnech 22. a 23. září na stanici Malý Děd. Nejnižší minimální teplota vzduchu, 1,6 °C, byla naměřena dne 22. září na stanici Malý Děd a 30. září na stanici Štíty. Nejvyšší hodnota minimální teploty vzduchu, 18,0 °C, byla naměřena dne 4. září na stanici Javorník. Nejnižší přízemní minimální teplota vzduchu (−1,5 °C) byla změřena na stanici Prostějov dne 30. září.

Srážek spadlo v kraji průměrně 56 mm, to je 81 % normálu 1991–2020 (srážkově normální měsíc). V Olomouci spadlo 41,2 mm, což je 73 % normálu, v Šumperku 49,5 mm (89 % normálu) a na Šeráku 69,4 mm (59 % normálu). Nejvyšší měsíční úhrn srážek v kraji zaznamenala stanice Červenohorské sedlo (82,6 mm). Druhý nejvyšší zaznamenala stanice Dlouhé stráně, Kouty nad Desnou (76,1 mm) a třetí nejvyšší Zlaté Hory (75,3 mm). Nejnižší měsíční srážkový úhrn jsme zaznamenali na stanicích Kralice na Hané (38,5 mm), Olomouc, Holice (41,2 mm) a Lipník nad Bečvou (41,4 mm). Nejvyšší denní úhrn srážek, 36,2 mm, zaznamenala dne 9. září stanice Šternberk. Slunce svítilo v kraji průměrně 182,3 hodin. V září slunce svítilo nejvíce na stanicích Bělotín (202 hod.), Olomouc, Holice (200,6 hod.) a Šternberk (200,1 hod.). Naopak nejméně svítilo slunce na stanicích Jeseník (161,1 hod.), Šumperk (175,8 hod.) a Přerov (182,9 hod.). Nejvyšší denní úhrn slunečního svitu jsme naměřili na stanici Luká dne 8. září, kdy slunce svítilo 12,3 hodin.

Z hlediska průměrných rychlostí větru na všech stanicích v kraji byl největrnější den 21. září. Nejvyšší maximální rychlosti větru pak zaznamenaly stanice Šternberk (23,7 $m.s^{-1}$ 9. září) a 20. září Protivanov (17,9 $m.s^{-1}$). V Olomouci dosáhl vítr maximální rychlosti 14,8 $m.s^{-1}$ dne 9. září.

Zlínský kraj

Ve Zlínském kraji byla průměrná teplota vzduchu v září 14,2 °C. Kraj byl o 0,9 °C teplejší než teplotní normál 1991–2020 pro měsíc září (normální měsíc). Ve Zlíně byla průměrná teplota vzduchu 15,3 °C (o 0,6 °C tepleji než normál), ve Valašském Meziříčí 14,8 °C (o 1,3 °C tepleji než normál) a na Marušce 14,3 °C (o 1,3 °C tepleji než normál). Průměrně nejtepleji bylo na stanicích Kroměříž (15,9 °C), Holešov (15,7 °C) a třetí nejteplejší stanice byla Bystřice pod Hostýnem (15,4 °C). Průměrně nejchladněji (11,3 °C) bylo na stanici Velké Karlovice, Miloňov, dále na stanici Velké Karlovice (12,2 °C) a na stanicích Držková, Hutě, Německé; Valašská Senice a Velké Karlovice, Horal (12,4 °C). Nejteplejší den bylo 9. září s průměrnou denní teplotou vzduchu v kraji 21,4 °C. Nejvyšší denní průměrná teplota vzduchu na stanici (24,4 °C) byla naměřena 8. září na stanici Bystřice pod Hostýnem. Nejchladnějším dnem bylo 23. září s denní průměrnou teplotou vzduchu v kraji 7,7 °C. Nejnižší denní průměrná teplota vzduchu na stanici, 5,5 °C, byla naměřena v tento den na stanici Makov, Kasárna. Nejvyšší maximální teplota vzduchu, 31,9 °C, byla zaznamenána dne 9. září na stanici Bojkovice. Nejnižší hodnota maximální teploty vzduchu (6,6 °C) byla naměřena dne 22. září na stanici Makov, Kasárna. Nejnižší minimální teplota vzduchu, 1,1 °C, byla naměřena dne 24. září na stanici Velké Karlovice, Machůzky. Nejvyšší hodnota minimální teploty vzduchu byla naměřena 9. září na stanici Valašské Meziříčí (19,2 °C). Nejnižší přízemní minimální teplota vzduchu (−1,7 °C) byla naměřena 24. září na stanici Držková, Hutě, Německé.

V celém kraji spadlo v září průměrně 58 mm srážek, což odpovídá 79 % normálu 1991–2020 (srážkově normální měsíc). Ve Valašském Meziříčí bylo naměřeno 61,6 mm srážek (78 % normálu), na Marušce 72,8 mm (80 % normálu) a ve Zlíně 49,9 mm (79 % normálu). Nejvíce srážek v kraji spadlo v září na stanici Horní Bečva (105,6 mm), dále na stanicích Kudlačena (95,1 mm) a Velké Karlovice (88,3 mm). Nejméně srážek bylo zaznamenáno na stanicích Strání (39,5 mm), Halenkovice (40,5 mm) a Hluk (41,3 mm). Nejvyšší denní úhrn srážek, 29,6 mm, byl zaznamenán dne 22. září na stanici Horní Bečva.

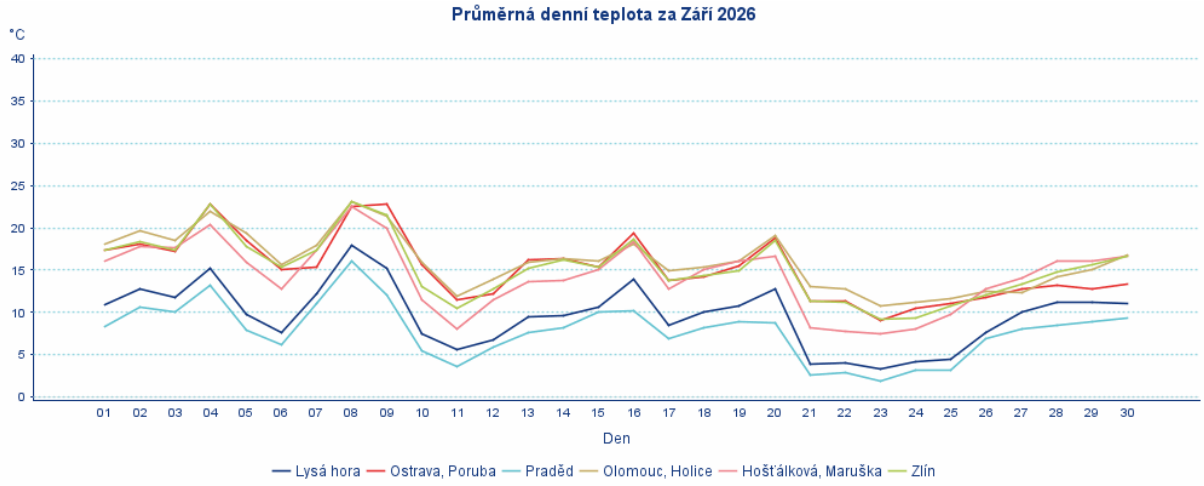
V kraji svítilo slunce průměrně 183,5 hodin. Nejdelší sluneční svit byl zaznamenán na stanicích Maruška (197,7 hod.), Holešov (192,4 hod.) a Staré Město (191,7 hod.), nejméně svítilo slunce na stanicích Valašská Senice (145,3 hod.), Horní Bečva (146,5 hod.) a Strání (158,6 hod.). Nejvyšší denní úhrn délky slunečního svitu v kraji (11,8 hod.) byl změřen 8. září na stanici Holešov.Z hlediska průměrných rychlostí větru na všech stanicích v kraji byl největrnější den 9. září. Nejvyšší maximální rychlosti větru zaznamenala stanice Maruška (17,0 $m.s^{-1}$ 9. září a 15,7 $m.s^{-1}$ 20. září). V Holešově dosáhl vítr maximální rychlosti 15,3 $m.s^{-1}$ dne 21. září.

Měsíc září 2026 byl vyhodnocen na základě údajů ze všech dostupných měření na začátku měsíce října 2026. Uvedené údaje jsou tedy pouze předběžné a mohou se ještě měnit, neboť data nebyla kompletně verifikována. K porovnání byly použity příslušné měsíční normály 1991–2020.

Teploty vzduchu

Tab. 1 Vybrané teplotní charakteristiky v září 2026

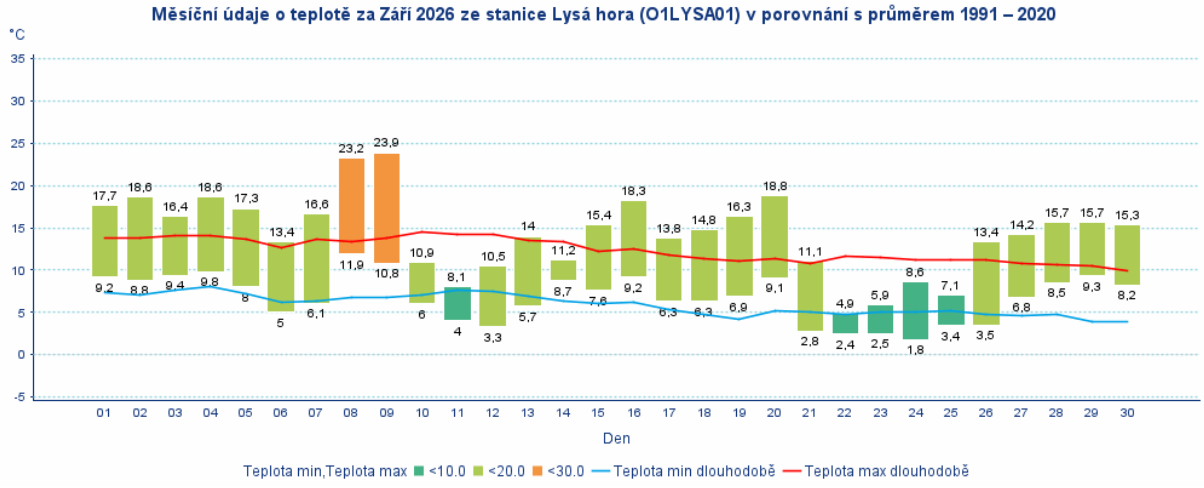
Charakteristika	Moravskoslezský kraj	Olomoucký kraj	Zlínský kraj
Průměrná měsíční teplota (ºC)	13,9	14,1	14,2
Odchylka od dlouhodobého průměru (ºC)	+1,0	+1,0	+0,9
Nejvyšší průměrná měsíční teplota (ºC)	Chuchelná, Frýdek-Místek, Sviadnov a Slezská Ostrava 15,8	Javorník; Olomouc, Holice a Šternberk 16,0	Kroměříž 15,9
Nejnižší průměrná měsíční teplota (ºC)	Praděd 7,8	Malý Děd 8,5	Velké Karlovice, Miloňov 11,3
Nejteplejší / Nejchladnější den měsíce	8/23	8/23	9/23
Absolutní maximum teploty (ºC)	9. den Karviná 32,2	8. den Šternberk 31,9	9. den Bojkovice 31,9
Absolutní minimum teploty (ºC)	24. den Světlá Hora 0,6	22. den Malý Děd a 30. den Štíty 1,6	24. den Velké Karlovice, Machůzky 1,1
Nejnižší přízemní teplota (ºC)	24. den Bílá, Salajka −3,0	30. den Prostějov −1,5	24. den Držková, Hutě, Německé −1,7

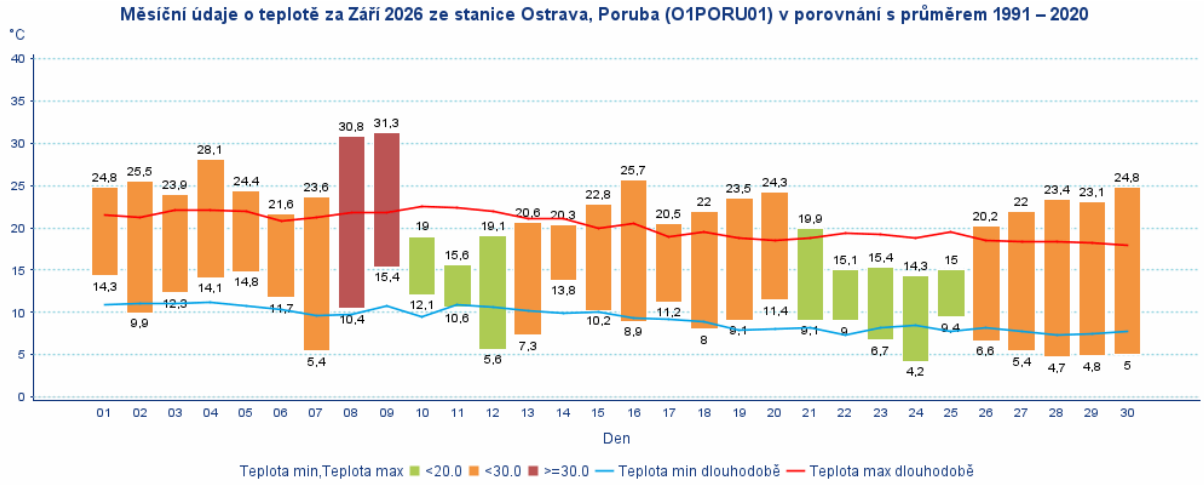


Obr. 1 Průběh průměrných denních teplot vzduchu na vybraných stanicích Lysá hora (1322 m n.m.), Ostrava-Poruba (242 m n.m.), Praděd (1490 m n.m.), Olomouc-Holice (210 m n.m.), Hošťálková-Maruška (664 m n.m.) a Zlín (283 m n.m.)

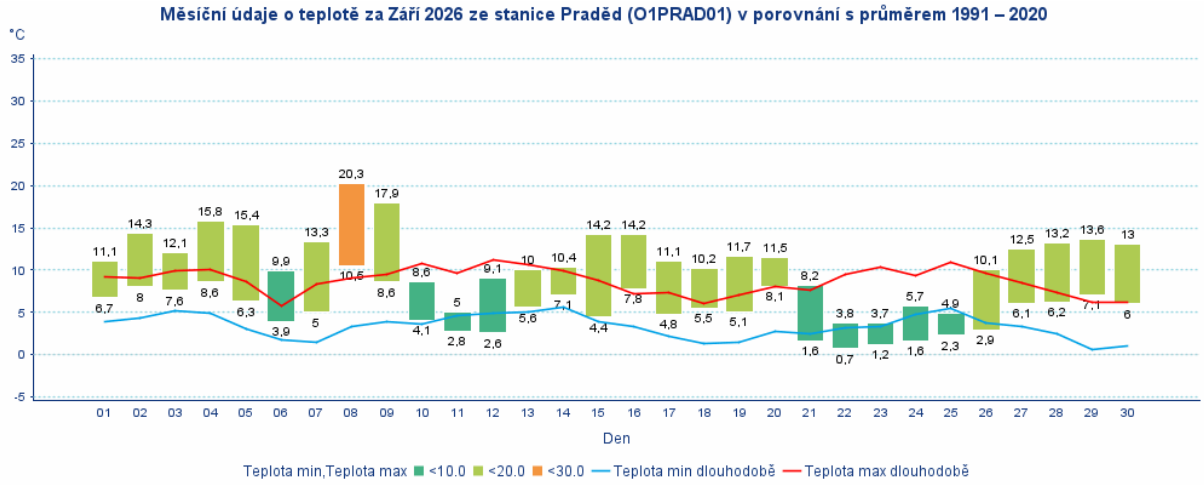
Tab. 2 Dosud zaznamenané extrémy na vybraných stanicích v září 2026

Teplota vzduchu	Maximální teplota			Minimální teplota		
Kraj	stanice	datum extrému	hodnota (°C)	stanice	datum extrému	hodnota (°C)
Moravskoslezský	Lučina	1. 9. 2015	36,2	Praděd	30. 9. 1993	−6,0
Olomoucký	Javorník	1. 9. 2015	37,4	Město Libavá, Dřemovice	24. 9. 1902	−5,4
Zlínský	Polešovice	19. 9. 1947	34,2	Huslenky, Kychová	29. 9. 1970	−4,6

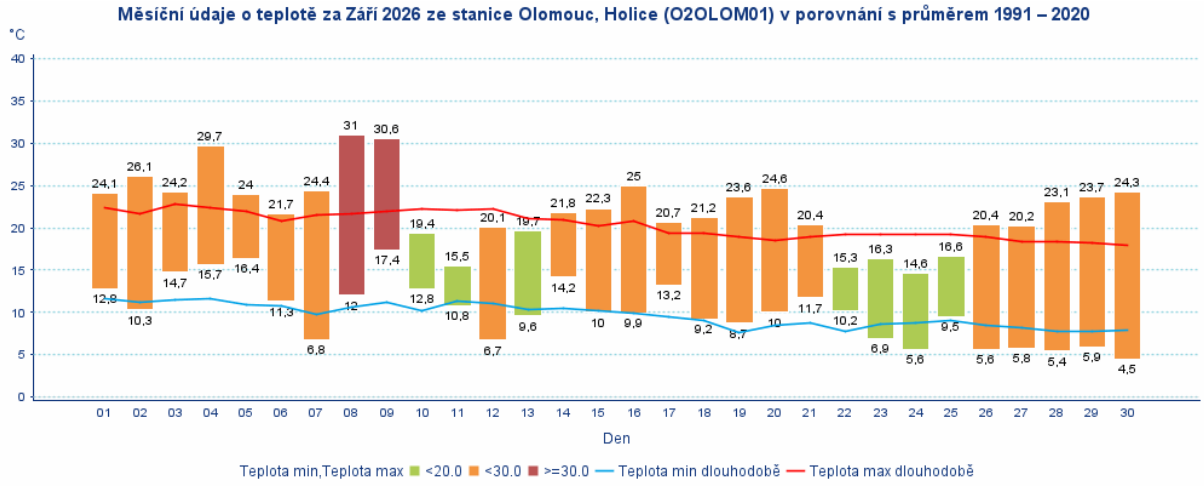




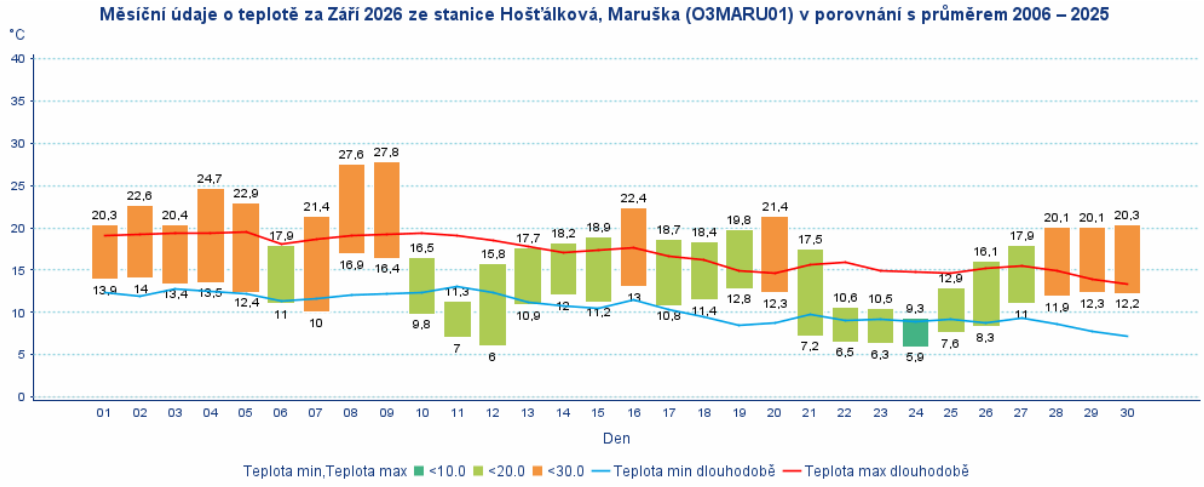
Měsíční údaje o teplotě za Září 2026 ze stanice Praděd (O1PRAD01) v porovnání s průměrem 1991 – 2020

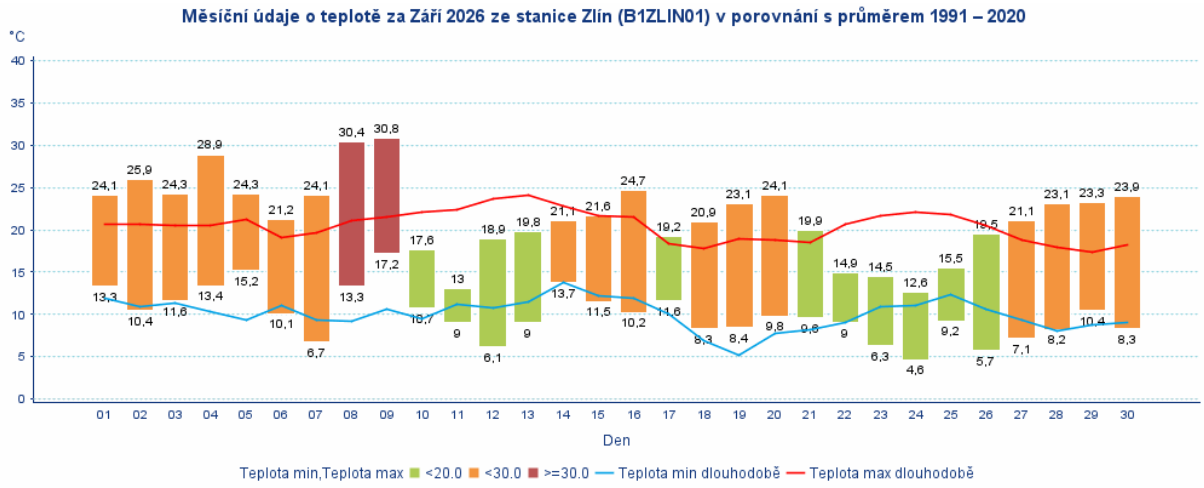


Měsíční údaje o teplotě za Září 2026 ze stanice Olomouc, Holice (O2OLOM01) v porovnání s průměrem 1991 – 2020

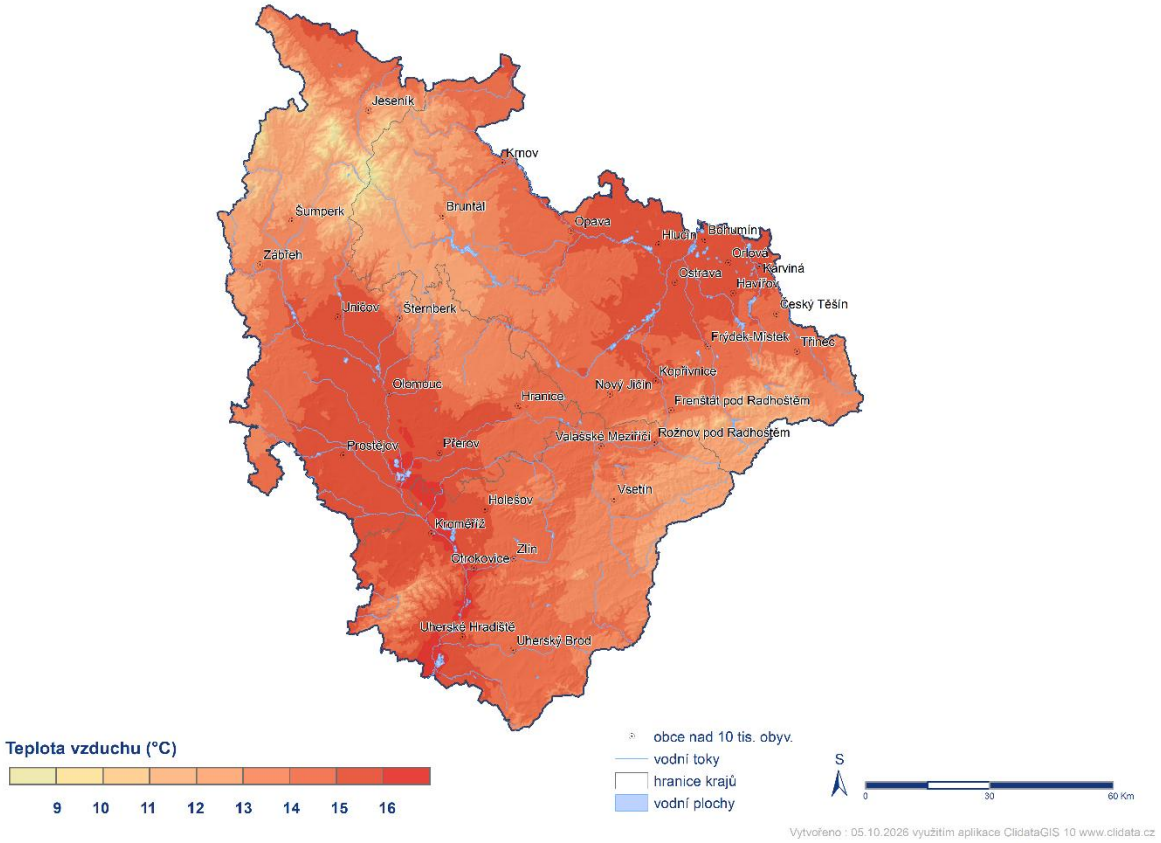


Měsíční údaje o teplotě za Září 2026 ze stanice Hošťálková, Maruška (O3MARU01) v porovnání s průměrem 2006 – 2025





Obr. 2 a–f *Průběh maximálních a minimálních teplot vzduchu na stanicích Lysá hora (1322 m n.m.), Ostrava-Poruba (242 m n.m.), Praděd (1490 m n.m.), Olomouc-Holice (210 m n.m.), Hošťálková-Maruška (664 m n.m.) a Zlín (283 m n.m.)*

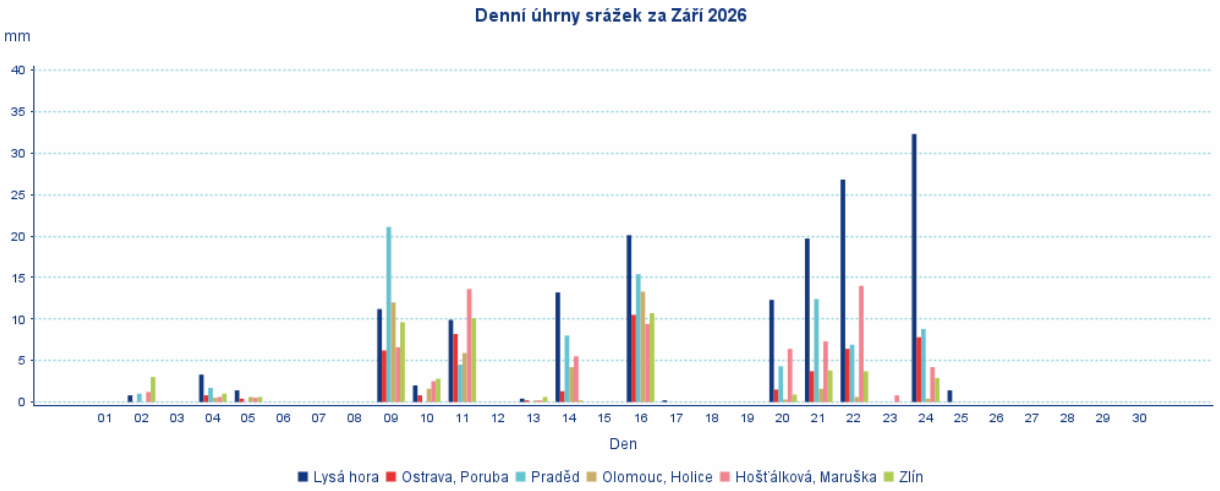


Obr. 3 Prostorové rozložení průměrné měsíční teploty na území Olomouckého, Moravskoslezského a Zlínského kraje

Srážky

Tab. 3 Vybrané srážkové charakteristiky v září 2026

Charakteristika	Moravskoslezský kraj	Olomoucký kraj	Zlínský kraj
Průměrný měsíční úhrn v regionu (mm)	68	56	58
v % dlouhodobé hodnoty	82	81	79
Nejvyšší měsíční úhrn (mm)	Lysá hora 155,0	Červenohorské sedlo 82,6	Horní Bečva 105,6
Nejnižší měsíční úhrn (mm)	Odry 39,3	Kralice na Hané 38,5	Strání 39,5
Nejvyšší denní úhrn (mm)	9. den Dlouhá Stráň 38,6	9. den Šternberk 36,2	22. den Horní Bečva 29,6

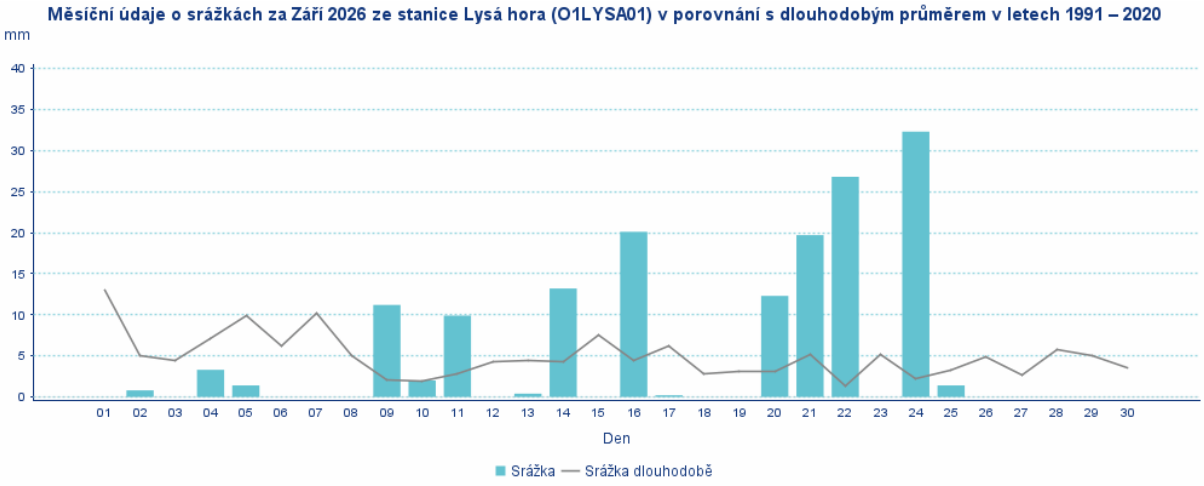


Obr. 4 Průběh denních úhrnů srážek na vybraných stanicích Lysá hora (1322 m n.m.), Ostrava-Poruba (242 m n.m.), Praděd (1490 m n.m.), Olomouc-Holice (210 m n.m.), Hošťálková-Maruška (664 m n.m.) a Zlín (283 m n.m.)

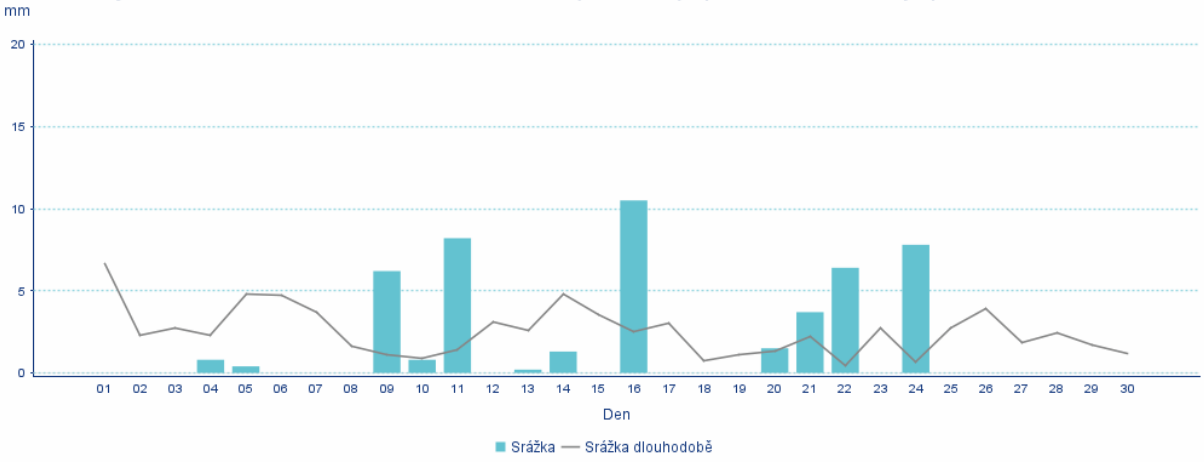
Tab. 4 Dosud zaznamenané extrémy na vybraných stanicích v září

Úhrn srážek	Maximální denní úhrn srážek		
Kraj	stanice	datum extrému	hodnota (mm)
Moravskoslezský	Lysá hora	14. 9. 2024	238,5
Olomoucký	Švýcárna	14. 9. 2024	385,6
Zlínský	Horní Bečva, U Ondrů	14. 9. 2024	176,2

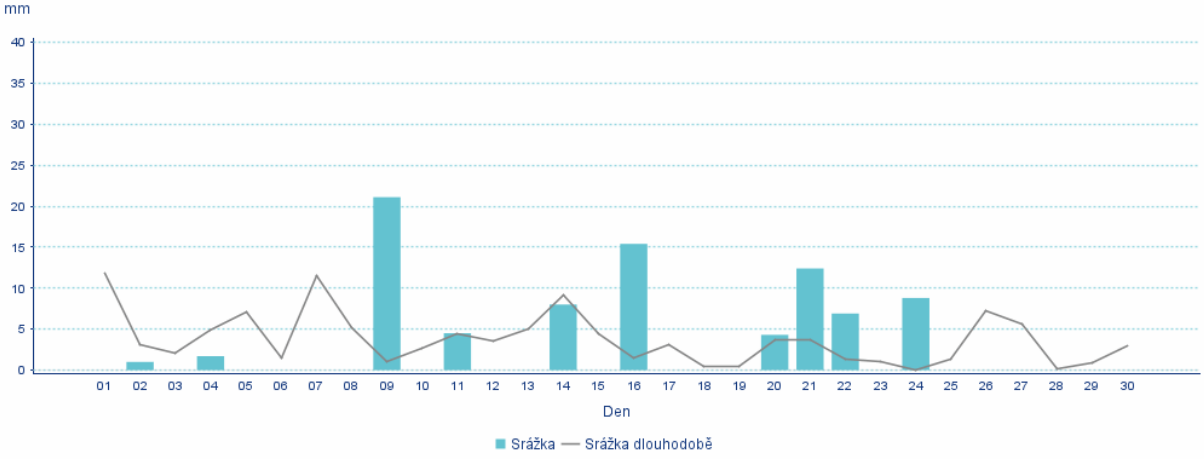
Měsíční údaje o srážkách za Září 2026 ze stanice Lysá hora (O1LYSA01) v porovnání s dlouhodobým průměrem v letech 1991 – 2020

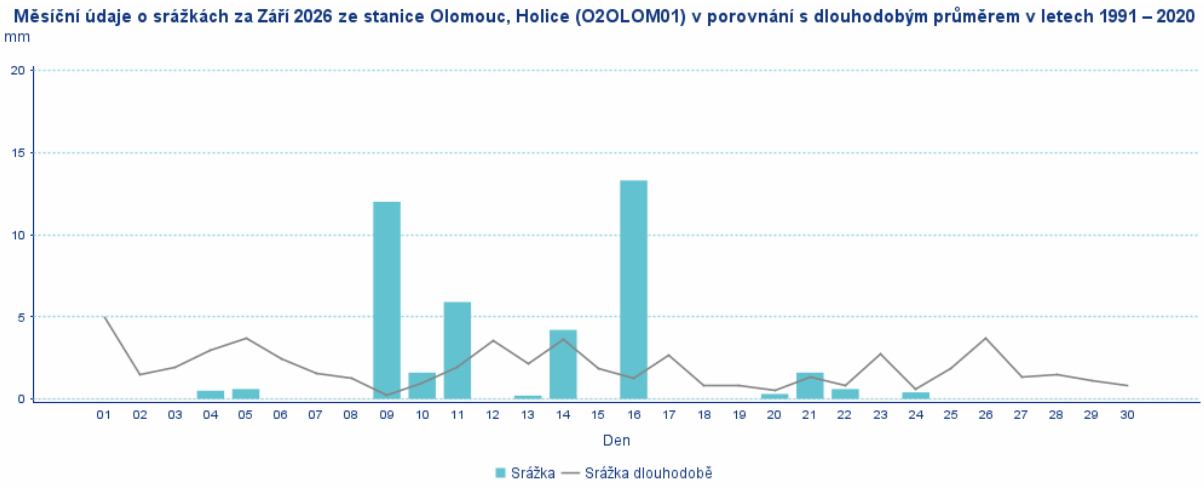


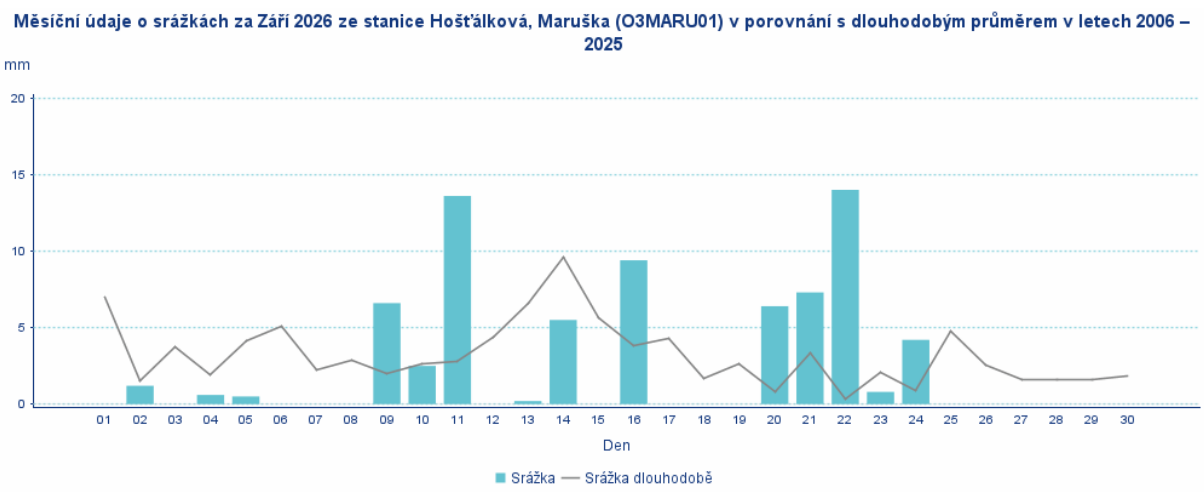
Měsíční údaje o srážkách za Září 2026 ze stanice Ostrava, Poruba (O1PORU01) v porovnání s dlouhodobým průměrem v letech 1991 – 2020

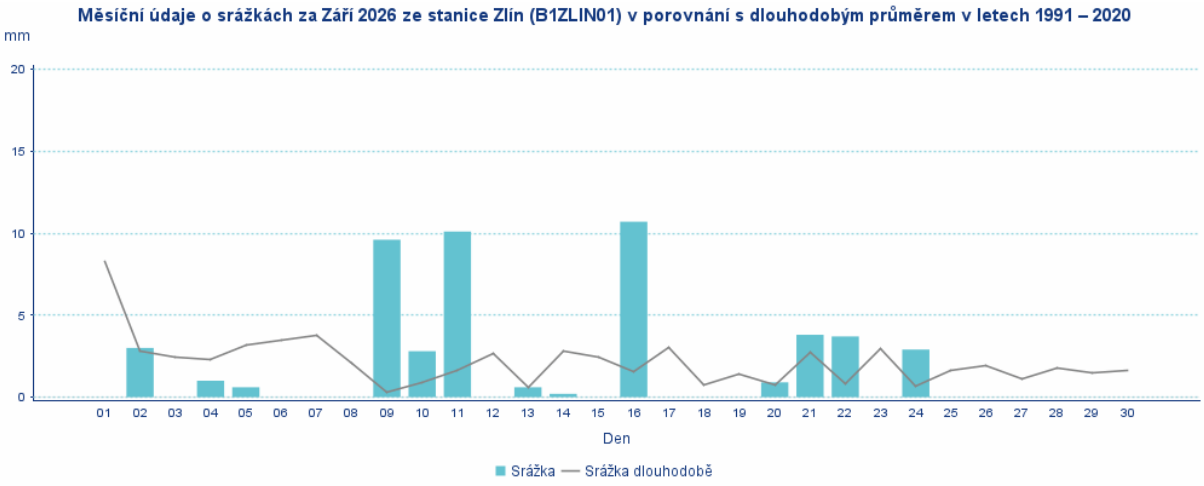


Měsíční údaje o srážkách za Září 2026 ze stanice Praděd (O1PRAD01) v porovnání s dlouhodobým průměrem v letech 1991 – 2020

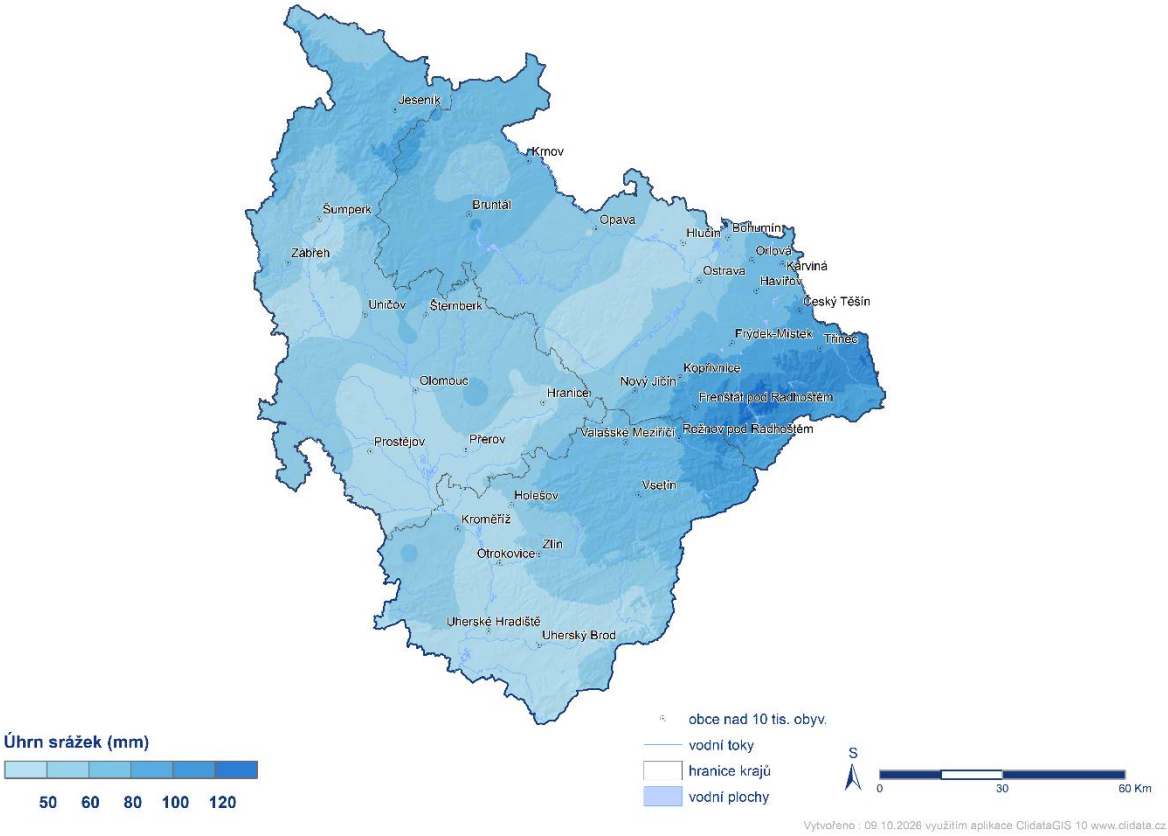








Obr. 5 a–f Průběh srážek na stanicích Lysá hora (1322 m n.m.), Ostrava-Poruba (242 m n.m.), Praděd (1490 m n.m.), Olomouc-Holice (210 m n.m.), Hošťálková-Maruška (664 m n.m.) a Zlín (283 m n.m.)



Obr. 6 Prostorové rozložení měsíčních úhrnů srážek na území Olomouckého, Moravskoslezského a Zlínského kraje

Hydrologická situace

Povodí Odry

Hladiny vodních toků v povodí Odry byly větší část měsíce září převážně setrvalé nebo jen mírně rozkolísané. Velká část profilů se pohybovala pod nebo kolem hranice sucha. Pouze na konci měsíce se vyskytly výraznější srážky v oblasti Beskyd, ale k výraznějšímu rozkolísání vodních toků zde nedošlo.

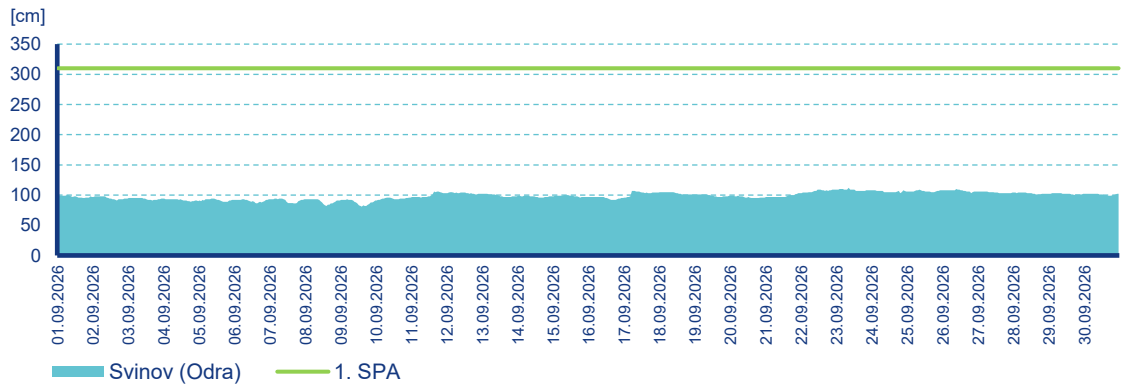
Odra ve Svinově kulminovala dne 23. září v 07:00 hodin při hodnotě průtoku 3,92 $m^3.s^{-1}$. Opava v Krnově dne 9. září ve 20:50 hodin při průtoku 2,35 $m^3.s^{-1}$. 22. září kulminovala Opavice v Krnově ve 20:40 hodin při průtoku 0,14 $m^3.s^{-1}$ a 23. září Opava v Opavě v 06:20 hodin při průtoku 1,33 $m^3.s^{-1}$. Moravice ve Valšově dosáhla svého maxima 10. září ve 02:30 hodin při průtoku 1,59 $m^3.s^{-1}$ a Opava v Děhylově kulminovala 17. září v 07:10 hodin při průtoku 4,63 $m^3.s^{-1}$.

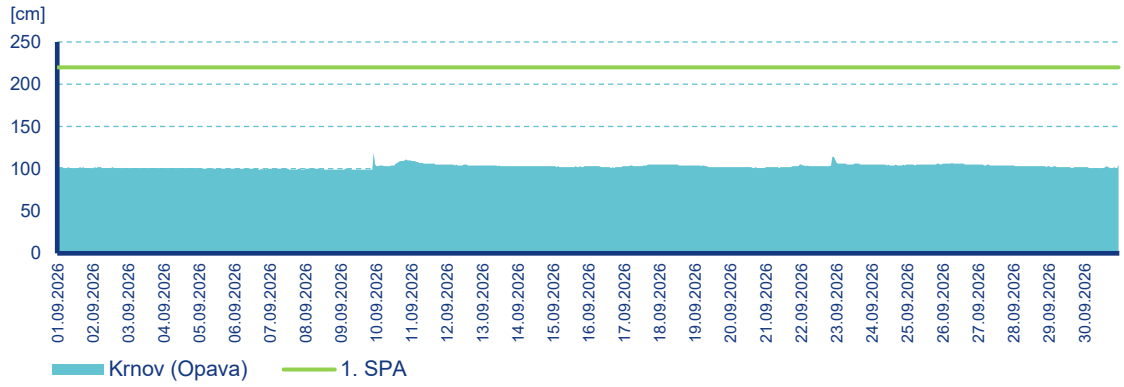
Ostravice ve Frýdku Místku kulminovala 23. září v 10:40 hodin při průtoku 5,6 $m^3.s^{-1}$ a v Ostravě 17. září v 08:50 hodin při průtoku 8,06 $m^3.s^{-1}$. Dne 17. září v 11:00 hodin kulminovala Odra v Bohumíně při průtoku 16,6 $m^3.s^{-1}$. Olše v Českém Těšíně dosáhla svého maxima 23. září v 07:10 hodin při průtoku 11,6 $m^3.s^{-1}$ a ve Věřňovicích stejný den ve 13:50 hodin při průtoku 11,2 $m^3.s^{-1}$.

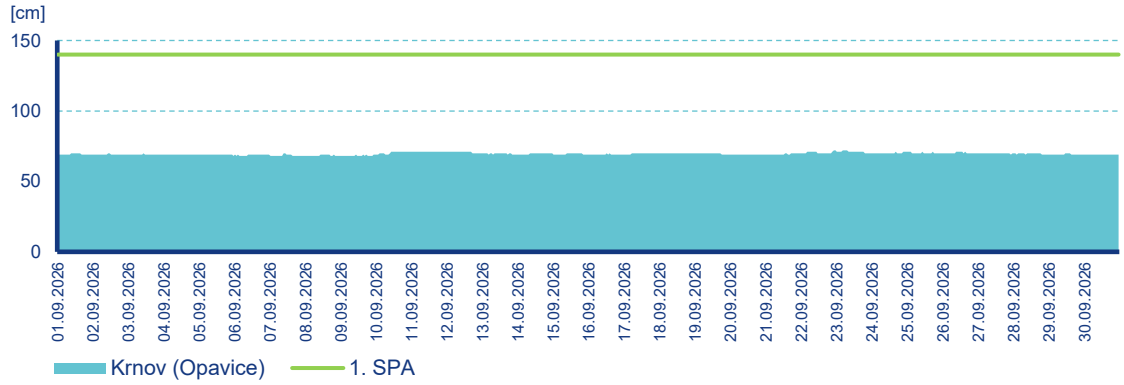
Osoblaha v Osoblaze kulminovala 22. září ve 22:10 hodin při průtoku 0,33 $m^3.s^{-1}$. Vidnávka ve Vidnavě dne 10. září v 09:50 hodin při průtoku 0,78 $m^3.s^{-1}$ a Bělá v Mikulovicích také 10. září v 01:20 hodin při průtoku 2,53 $m^3.s^{-1}$.

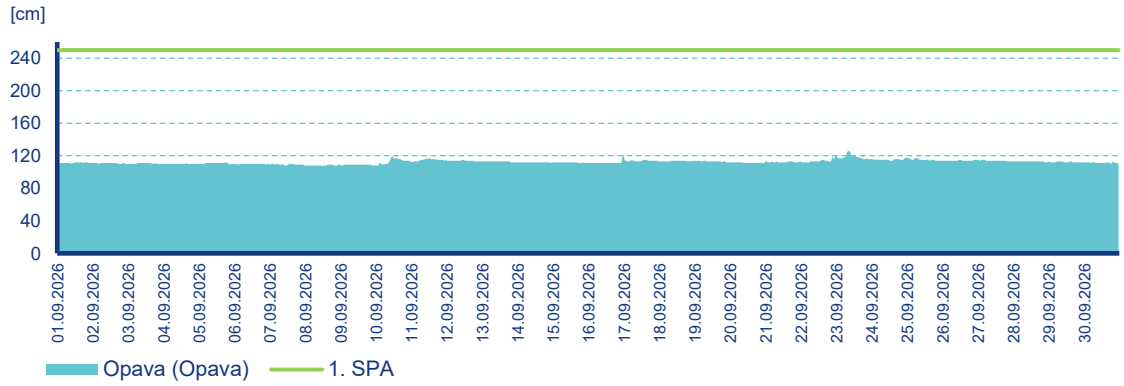
Průměrná měsíční vodnost neovlivněných toků se pohybovala nejčastěji v rozmezí Q_{355d} až Q_{300d}. Více vodné byly na konci měsíce pravostranné přítoky Odry, kde se průměrné vodnosti pohybovaly v rozmezí Q_{270d} do Q_{180d}. Průměrné měsíční průtoky se pohybovaly výrazně pod hodnotou dlouhodobého měsíčního průměru (Bohumín – 25 % Q_{IX}), nejčastěji v rozmezí od 5 do 40 % Q_{IX}.

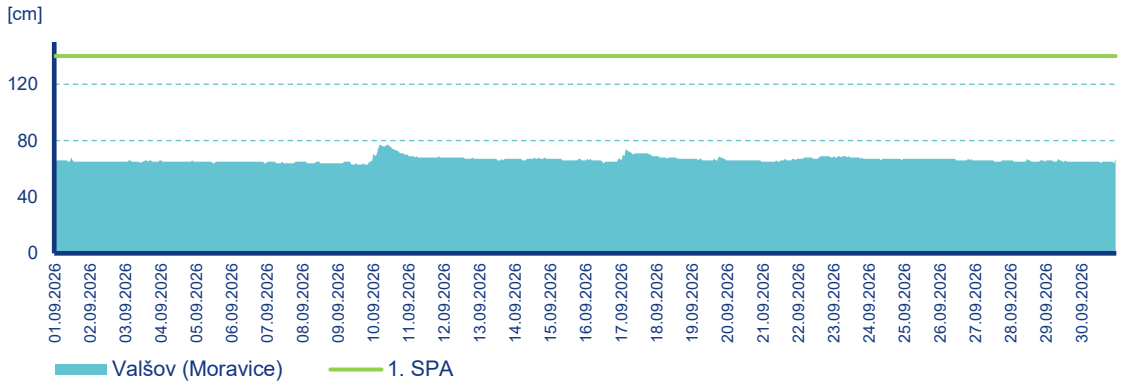
Na řece Bělé bylo Povodím Odry, s. p. obnoveno měření v Mikulovicích. Jedná se provizorní stanici na Hradeckém mostě cca 1,5 km nad původní stanicí, která byla při povodních v září 2024 zcela zničena. Po dobu provizorního měření nebudou uváděny limity pro SPA ani vyhodnocovány dlouhodobé charakteristiky.

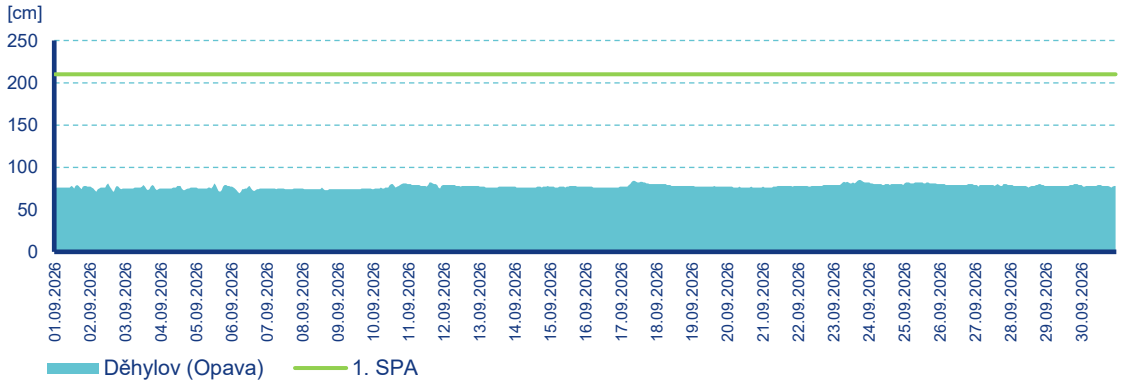


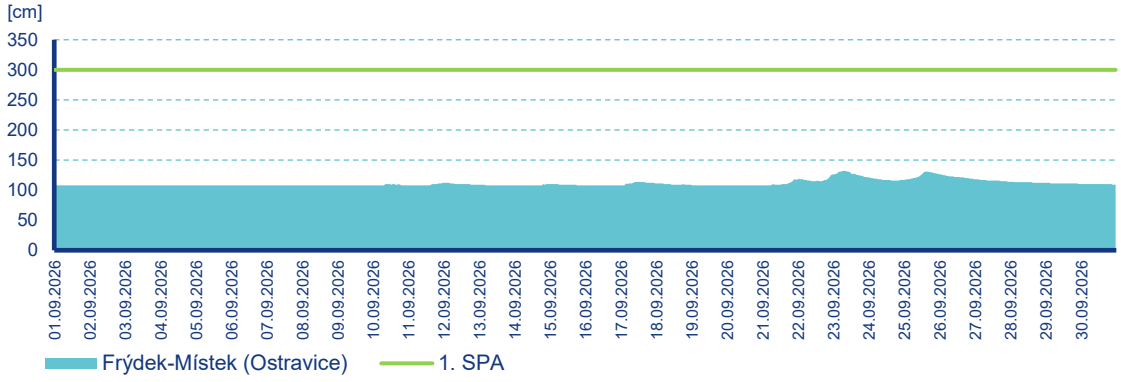

[cm]
250
200
150
100
50
0
01.09.2026
02.09.2026
03.09.2026
04.09.2026
05.09.2026
06.09.2026
07.09.2026
08.09.2026
09.09.2026
10.09.2026
11.09.2026
12.09.2026
13.09.2026
14.09.2026
15.09.2026
16.09.2026
17.09.2026
18.09.2026
19.09.2026
20.09.2026
21.09.2026
22.09.2026
23.09.2026
24.09.2026
25.09.2026
26.09.2026
27.09.2026
28.09.2026
29.09.2026
30.09.2026
Krnov (Opava)
1. SPA

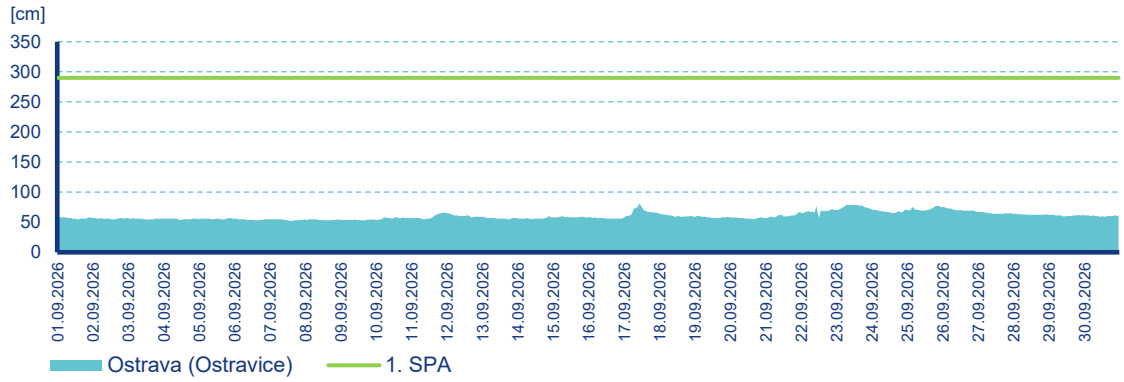

[cm]
150
100
50
0
01.09.2026
02.09.2026
03.09.2026
04.09.2026
05.09.2026
06.09.2026
07.09.2026
08.09.2026
09.09.2026
10.09.2026
11.09.2026
12.09.2026
13.09.2026
14.09.2026
15.09.2026
16.09.2026
17.09.2026
18.09.2026
19.09.2026
20.09.2026
21.09.2026
22.09.2026
23.09.2026
24.09.2026
25.09.2026
26.09.2026
27.09.2026
28.09.2026
29.09.2026
30.09.2026
Krnov (Opavice)
1. SPA

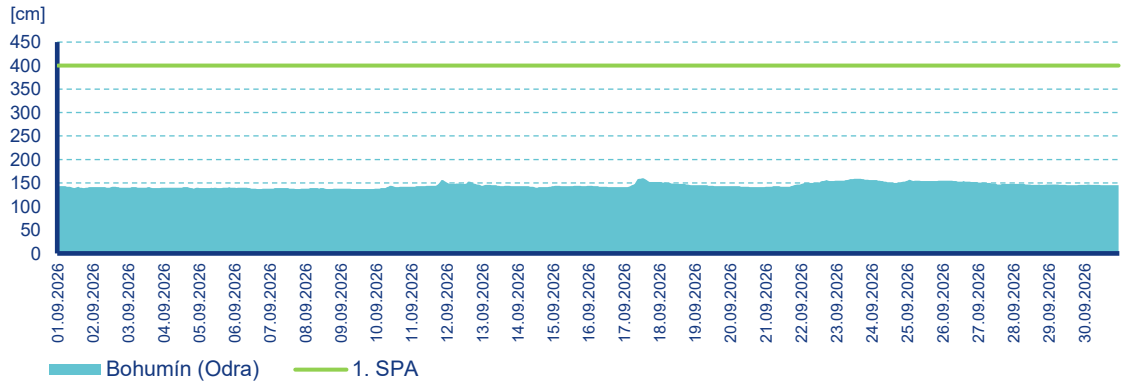

[cm]
240
200
160
120
80
40
0
01.09.2026
02.09.2026
03.09.2026
04.09.2026
05.09.2026
06.09.2026
07.09.2026
08.09.2026
09.09.2026
10.09.2026
11.09.2026
12.09.2026
13.09.2026
14.09.2026
15.09.2026
16.09.2026
17.09.2026
18.09.2026
19.09.2026
20.09.2026
21.09.2026
22.09.2026
23.09.2026
24.09.2026
25.09.2026
26.09.2026
27.09.2026
28.09.2026
29.09.2026
30.09.2026
Opava (Opava)
1. SPA

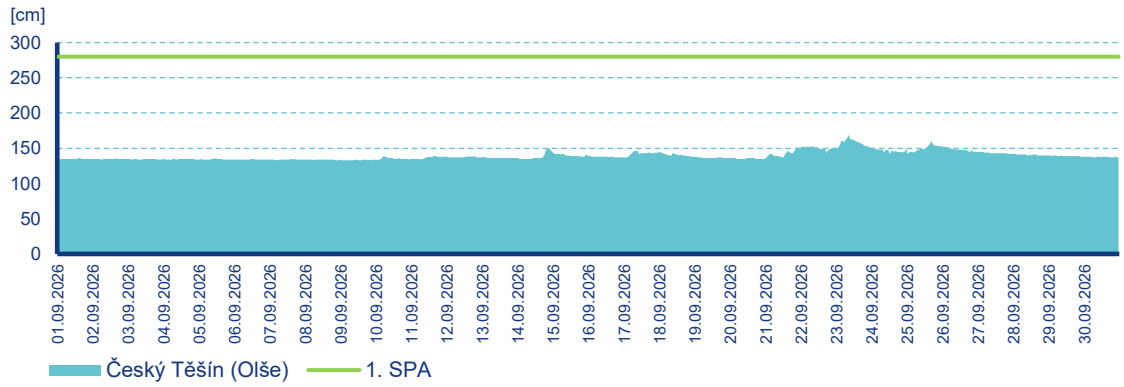

[cm]
120
80
40
0
01.09.2026
02.09.2026
03.09.2026
04.09.2026
05.09.2026
06.09.2026
07.09.2026
08.09.2026
09.09.2026
10.09.2026
11.09.2026
12.09.2026
13.09.2026
14.09.2026
15.09.2026
16.09.2026
17.09.2026
18.09.2026
19.09.2026
20.09.2026
21.09.2026
22.09.2026
23.09.2026
24.09.2026
25.09.2026
26.09.2026
27.09.2026
28.09.2026
29.09.2026
30.09.2026
Valšov (Moravice)
1. SPA

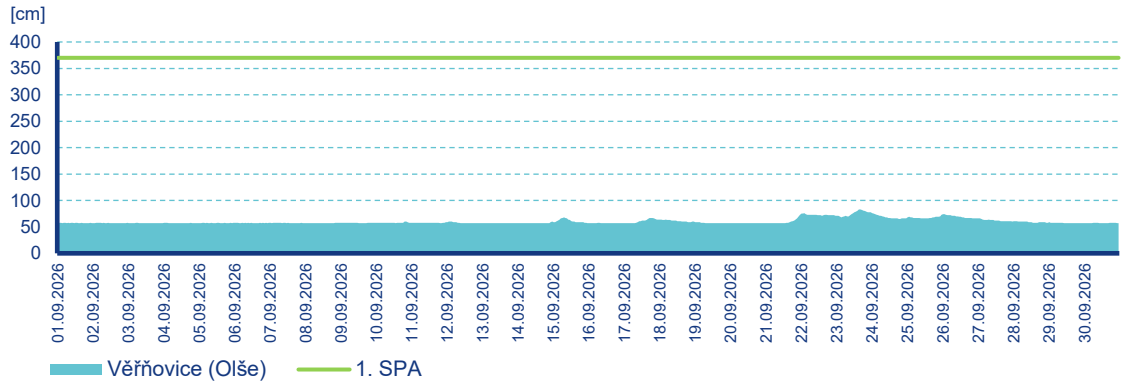

[cm]
250
200
150
100
50
0
01.09.2026
02.09.2026
03.09.2026
04.09.2026
05.09.2026
06.09.2026
07.09.2026
08.09.2026
09.09.2026
10.09.2026
11.09.2026
12.09.2026
13.09.2026
14.09.2026
15.09.2026
16.09.2026
17.09.2026
18.09.2026
19.09.2026
20.09.2026
21.09.2026
22.09.2026
23.09.2026
24.09.2026
25.09.2026
26.09.2026
27.09.2026
28.09.2026
29.09.2026
30.09.2026
Děhylov (Opava)
1. SPA

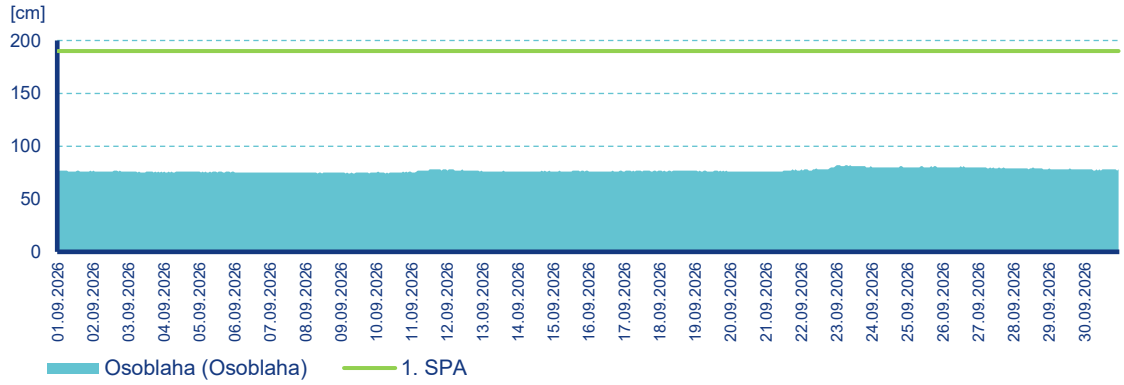

[cm]
350
300
250
200
150
100
50
0
01.09.2026
02.09.2026
03.09.2026
04.09.2026
05.09.2026
06.09.2026
07.09.2026
08.09.2026
09.09.2026
10.09.2026
11.09.2026
12.09.2026
13.09.2026
14.09.2026
15.09.2026
16.09.2026
17.09.2026
18.09.2026
19.09.2026
20.09.2026
21.09.2026
22.09.2026
23.09.2026
24.09.2026
25.09.2026
26.09.2026
27.09.2026
28.09.2026
29.09.2026
30.09.2026
Frýdek-Místek (Ostravice)
1. SPA

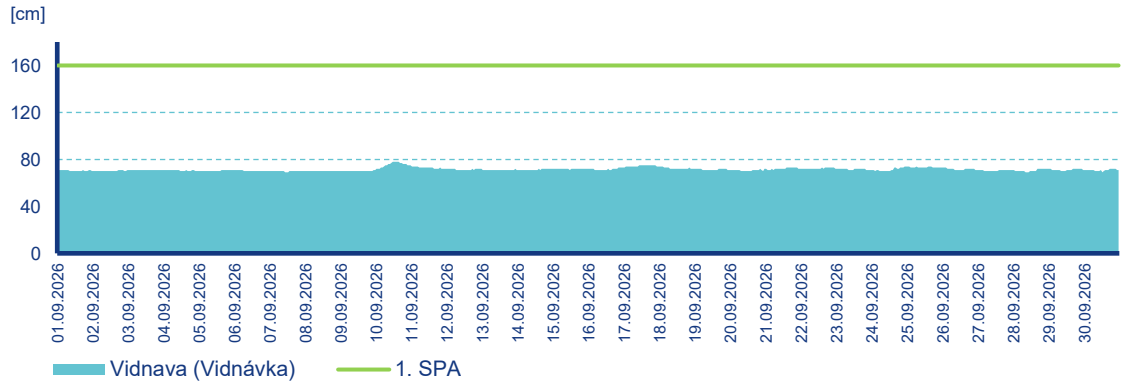

[cm]
350
300
250
200
150
100
50
0
01.09.2026
02.09.2026
03.09.2026
04.09.2026
05.09.2026
06.09.2026
07.09.2026
08.09.2026
09.09.2026
10.09.2026
11.09.2026
12.09.2026
13.09.2026
14.09.2026
15.09.2026
16.09.2026
17.09.2026
18.09.2026
19.09.2026
20.09.2026
21.09.2026
22.09.2026
23.09.2026
24.09.2026
25.09.2026
26.09.2026
27.09.2026
28.09.2026
29.09.2026
30.09.2026
Ostrava (Ostravice)
1. SPA

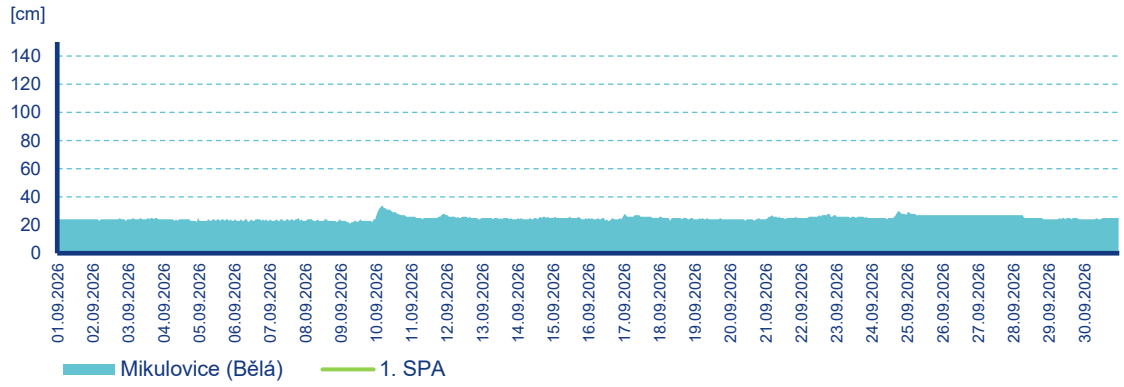

[cm]
450
400
350
300
250
200
150
100
50
0
01.09.2026
02.09.2026
03.09.2026
04.09.2026
05.09.2026
06.09.2026
07.09.2026
08.09.2026
09.09.2026
10.09.2026
11.09.2026
12.09.2026
13.09.2026
14.09.2026
15.09.2026
16.09.2026
17.09.2026
18.09.2026
19.09.2026
20.09.2026
21.09.2026
22.09.2026
23.09.2026
24.09.2026
25.09.2026
26.09.2026
27.09.2026
28.09.2026
29.09.2026
30.09.2026
Bohumín (Odra)
1. SPA


[cm]
300
250
200
150
100
50
0
01.09.2026
02.09.2026
03.09.2026
04.09.2026
05.09.2026
06.09.2026
07.09.2026
08.09.2026
09.09.2026
10.09.2026
11.09.2026
12.09.2026
13.09.2026
14.09.2026
15.09.2026
16.09.2026
17.09.2026
18.09.2026
19.09.2026
20.09.2026
21.09.2026
22.09.2026
23.09.2026
24.09.2026
25.09.2026
26.09.2026
27.09.2026
28.09.2026
29.09.2026
30.09.2026
Český Těšín (Olše)
1. SPA


[cm]
400
350
300
250
200
150
100
50
0
01.09.2026
02.09.2026
03.09.2026
04.09.2026
05.09.2026
06.09.2026
07.09.2026
08.09.2026
09.09.2026
10.09.2026
11.09.2026
12.09.2026
13.09.2026
14.09.2026
15.09.2026
16.09.2026
17.09.2026
18.09.2026
19.09.2026
20.09.2026
21.09.2026
22.09.2026
23.09.2026
24.09.2026
25.09.2026
26.09.2026
27.09.2026
28.09.2026
29.09.2026
30.09.2026
Věřňovice (Olše)
1. SPA


[cm]
200
150
100
50
0
01.09.2026
02.09.2026
03.09.2026
04.09.2026
05.09.2026
06.09.2026
07.09.2026
08.09.2026
09.09.2026
10.09.2026
11.09.2026
12.09.2026
13.09.2026
14.09.2026
15.09.2026
16.09.2026
17.09.2026
18.09.2026
19.09.2026
20.09.2026
21.09.2026
22.09.2026
23.09.2026
24.09.2026
25.09.2026
26.09.2026
27.09.2026
28.09.2026
29.09.2026
30.09.2026
Osoblaha (Osoblaha)
1. SPA


[cm]
160
120
80
40
0
01.09.2026
02.09.2026
03.09.2026
04.09.2026
05.09.2026
06.09.2026
07.09.2026
08.09.2026
09.09.2026
10.09.2026
11.09.2026
12.09.2026
13.09.2026
14.09.2026
15.09.2026
16.09.2026
17.09.2026
18.09.2026
19.09.2026
20.09.2026
21.09.2026
22.09.2026
23.09.2026
24.09.2026
25.09.2026
26.09.2026
27.09.2026
28.09.2026
29.09.2026
30.09.2026
Vidnava (Vidnávka)
1. SPA



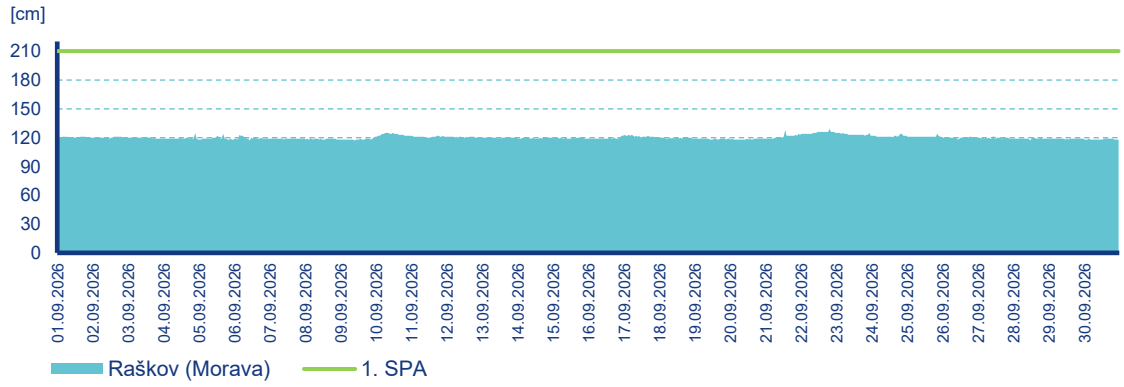
Obr. 7 Hodinové stavy ve vybraných profilech na tocích v povodí Odry

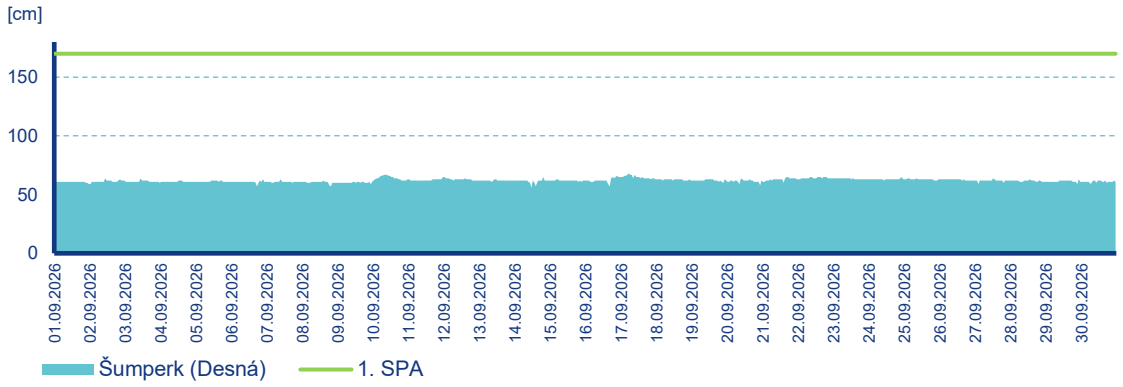
Povodí horní Moravy

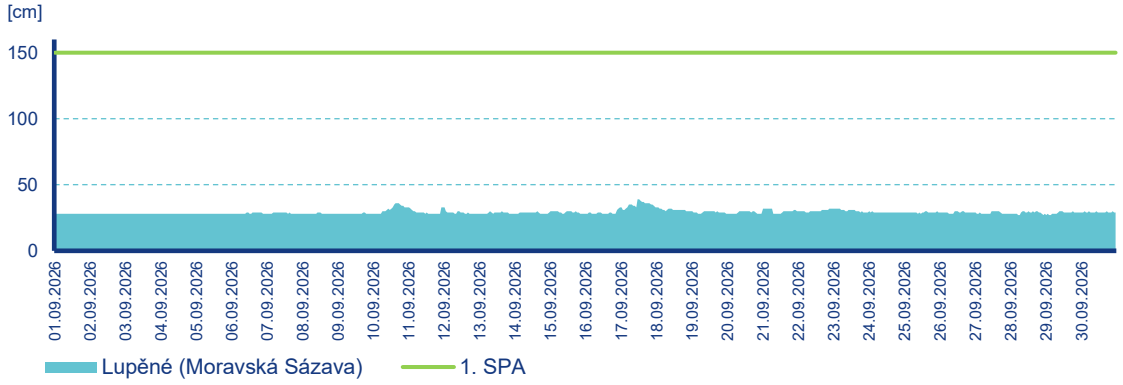
Hladiny vodních toků v povodí horní Moravy byly celý měsíc září převážně setrvalé nebo jen mírně rozkolísané. Významnější srážkové úhrny, které by výrazněji rozkolísaly hladiny toků, se v měsíci září nevyskytovaly. Na řadě profilů bylo větší část měsíce indikováno sucho a hladiny vodních toků se celý měsíc pohybovaly kolem nebo pod touto hranicí.

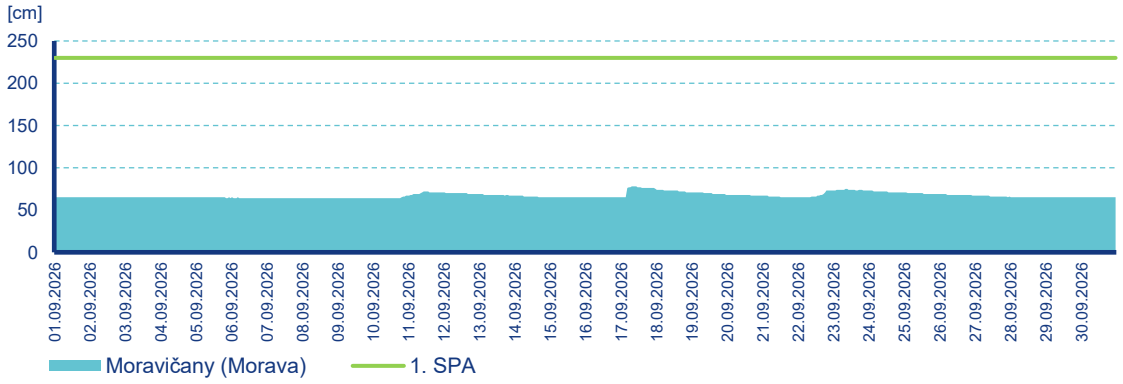
Dne 22. září kulminovala Morava v Raškově v 18:00 hodin při průtoku 2,13 $m^3.s^{-1}$. Desná v Šumperku kulminovala 7. září v 07:20 hodin při průtoku 1,35 $m^3.s^{-1}$. Dne 17. září došlo ke kulminaci Moravské Sázavy v Lupěném v 10:00 hodin při průtoku 1,44 $m^3.s^{-1}$, Moravy a Moravičanech v 05:30 hodin při průtoku 6,82 $m^3.s^{-1}$ a Třebůvky v Lošticích v 08:20 hodin při průtoku 1,61 $m^3.s^{-1}$. Morava v Olomouci kulminovala 14. září v 08:20 hodin při průtoku 6,39 $m^3.s^{-1}$.

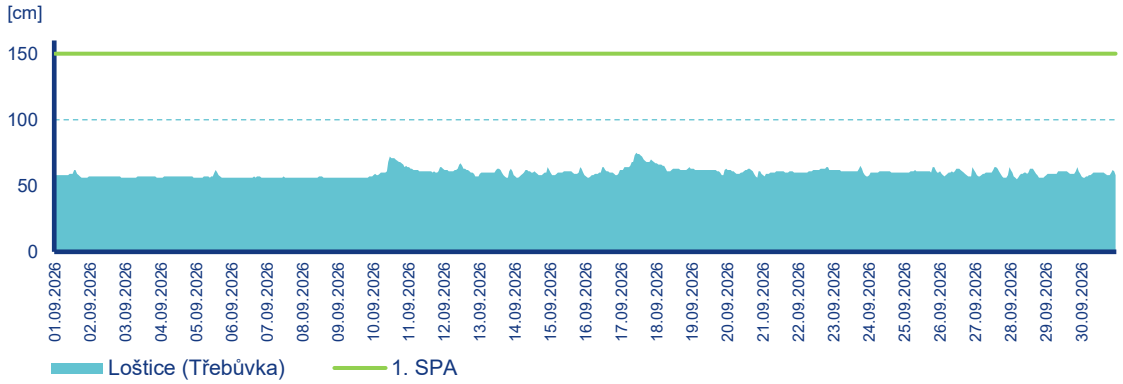
Průměrná měsíční vodnost toků se pohybovala nejčastěji v rozmezí od Q_{364d} až Q_{300d}. Průměrné měsíční průtoky se pohybovaly výrazně pod hodnotou dlouhodobého průměru pro září (Olomouc – 23 % Q_{IX}), nejčastěji od 19 do 33 % Q_{IX}.

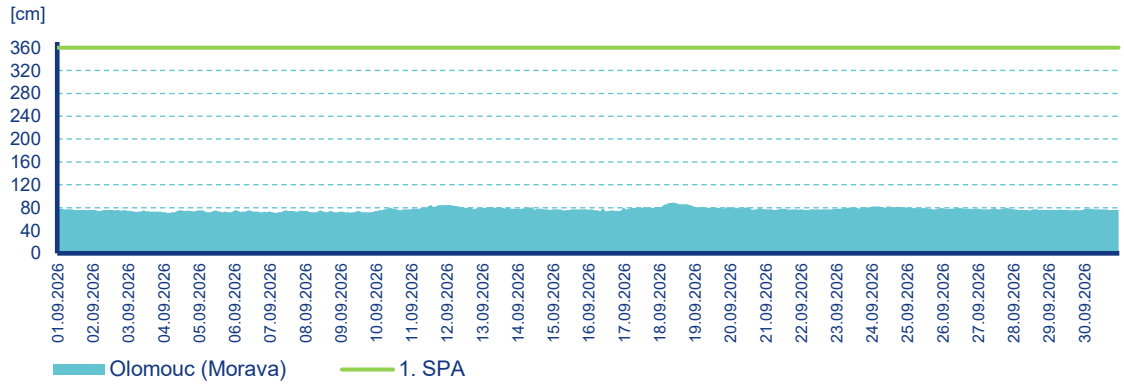



[cm]
150
100
50
0
01.09.2026
02.09.2026
03.09.2026
04.09.2026
05.09.2026
06.09.2026
07.09.2026
08.09.2026
09.09.2026
10.09.2026
11.09.2026
12.09.2026
13.09.2026
14.09.2026
15.09.2026
16.09.2026
17.09.2026
18.09.2026
19.09.2026
20.09.2026
21.09.2026
22.09.2026
23.09.2026
24.09.2026
25.09.2026
26.09.2026
27.09.2026
28.09.2026
29.09.2026
30.09.2026
Šumperk (Desná)
1. SPA


[cm]
150
100
50
0
01.09.2026
02.09.2026
03.09.2026
04.09.2026
05.09.2026
06.09.2026
07.09.2026
08.09.2026
09.09.2026
10.09.2026
11.09.2026
12.09.2026
13.09.2026
14.09.2026
15.09.2026
16.09.2026
17.09.2026
18.09.2026
19.09.2026
20.09.2026
21.09.2026
22.09.2026
23.09.2026
24.09.2026
25.09.2026
26.09.2026
27.09.2026
28.09.2026
29.09.2026
30.09.2026
Lupěné (Moravská Sázava)
1. SPA


[cm]
250
200
150
100
50
0
01.09.2026
02.09.2026
03.09.2026
04.09.2026
05.09.2026
06.09.2026
07.09.2026
08.09.2026
09.09.2026
10.09.2026
11.09.2026
12.09.2026
13.09.2026
14.09.2026
15.09.2026
16.09.2026
17.09.2026
18.09.2026
19.09.2026
20.09.2026
21.09.2026
22.09.2026
23.09.2026
24.09.2026
25.09.2026
26.09.2026
27.09.2026
28.09.2026
29.09.2026
30.09.2026
Moravičany (Morava)
1. SPA


[cm]
150
100
50
0
01.09.2026
02.09.2026
03.09.2026
04.09.2026
05.09.2026
06.09.2026
07.09.2026
08.09.2026
09.09.2026
10.09.2026
11.09.2026
12.09.2026
13.09.2026
14.09.2026
15.09.2026
16.09.2026
17.09.2026
18.09.2026
19.09.2026
20.09.2026
21.09.2026
22.09.2026
23.09.2026
24.09.2026
25.09.2026
26.09.2026
27.09.2026
28.09.2026
29.09.2026
30.09.2026
Loštice (Třebůvka)
1. SPA



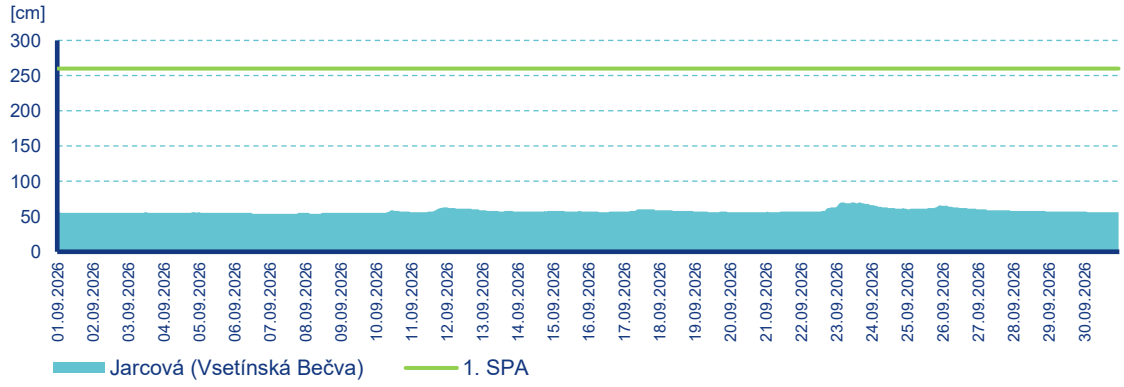
Obr. 8 Hodinové stavy ve vybraných profilech na tocích v povodí horní Moravy

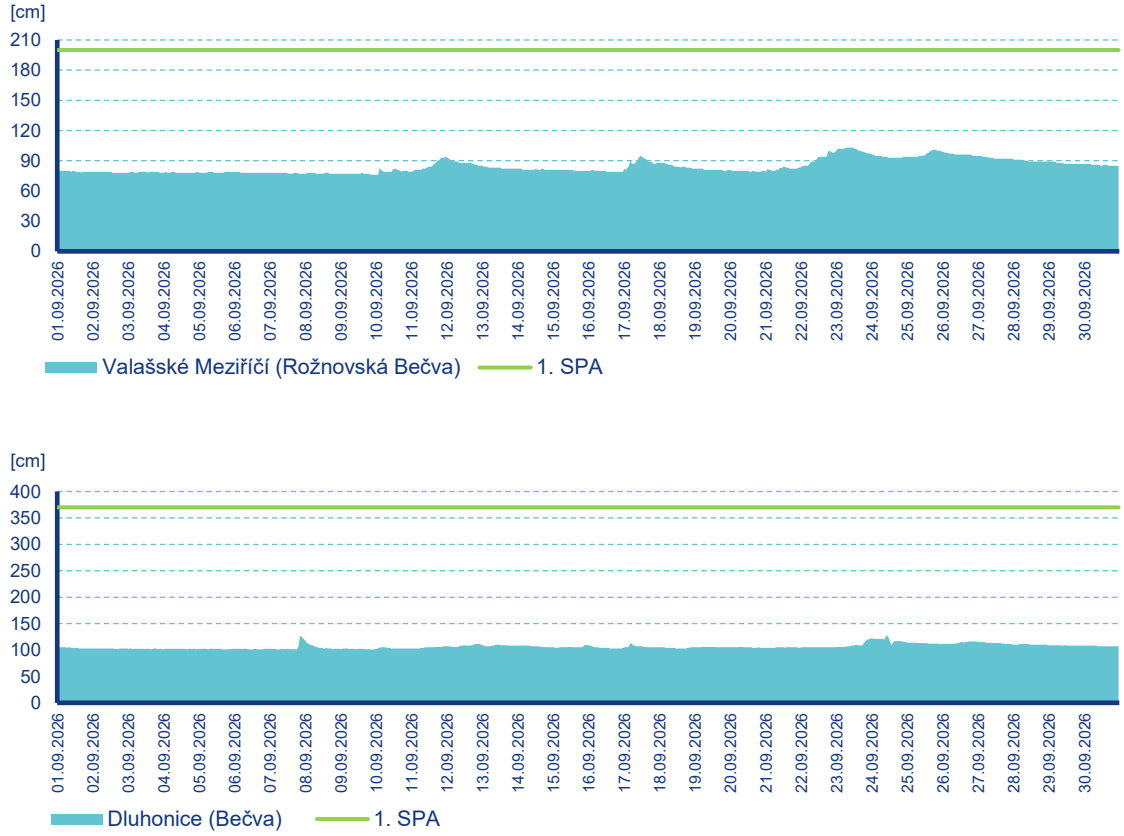
Povodí Bečvy

Také v povodí Bečvy byly hladiny vodních toků celý měsíc září převážně setrvalé nebo jen mírně rozkolísané. Srážky, které se v měsíci září vyskytovaly způsobily jen mírné rozkolísaní vodních toků. Na řadě profilů bylo velkou část měsíce indikováno sucho a hladiny vodních toků se převážnou část měsíce pohybovaly kolem nebo pod touto hranicí.

Dne 23. září kulminovala Vsetínská Bečva v Jarcové v 01:10 hodin při průtoku 4,22 $m^3.s^{-1}$ a Rožnovská Bečva ve Valašském Meziříčí ve 04:40 hodin při průtoku 2,27 $m^3.s^{-1}$. O den později, 24. září, kulminovala Bečva v Dluhonicích v 08:20 hodin při průtoku 10,1 $m^3.s^{-1}$.

Průměrná měsíční vodnost neovlivněných toků se pohybovala nejčastěji v rozmezí od Q_{355d} do Q_{300d}. Průměrné měsíční průtoky neovlivněných toků se pohybovaly výrazně pod hodnotou dlouhodobého průměru pro měsíc září (Dluhonice – 18 % Q_{IX}), nejčastěji v rozmezí 10 až 30 % Q_{IX}.





Obr. 9 Hodinové stavy ve vybraných profilech na tocích v povodí Bečvy

Pozn.: Všechny časy v textu, grafech i v tabulce jsou uváděny v SEČ. Hodnoty a časy kulminací jsou vyhodnocovány z operativních dat.

Tab. 5 Maximální hodnoty průtoků ve sledovaných profilech

Tok	Stanice	Den	Čas (SEČ)	Hodnota		1. SPA		2. SPA		3. SPA	
				[cm]	[m3/s]	[cm]	[m3/s]	[cm]	[m3/s]	[cm]	[m3/s]
Odra	Svinov	23	07:00	112	3,92	310	126	460	267	520	331
Opava	Krnov	09	20:50	123	2,35	220	25,9	300	67,7	320	81,3
Opavice	Krnov***	22	20:40	72	0,14	140	21,3	170	36,5	210	59,3
Opava	Opava	23	06:20	126	1,33	250	49,3	300	87,7	350	136
Moravice	Valšov	10	02:30	77	1,59	140	35,4	160	52,2	180	69,8
Opava	Děhylov	17	07:10	85	4,63	210	61,5	265	96,9	320	143
Ostravice	Frýdek-Místek	23	10:40	134	5,6	300	113	400	203	450	313
Ostravice	Ostrava	17	08:50	81	8,06	290	180	400	353	530	598
Odra	Bohumín	17	11:00	160	16,6	400	288	500	510	600	896
Olše	Český Těšín	23	07:10	172	11,6	280	87,9	330	137	400	220
Olše	Věřňovice	23	13:50	83	11,2	370	208	500	319	560	387
Osoblaha	Osoblaha	22	22:10	82	0,33	190	21,6	230	38,7	270	61,3
Vidnávka	Vidnava	10	09:50	78	0,78	160	11,2	200	20,7	240	34,5
Bělá	Mikulovice**	10	01:20	34	2,53						
Morava	Raškov	22	18:00	129	2,13	210	29,9	240	47,6	260	61,2
Desná	Šumperk	07	07:20	68	1,35	170	35,5	220	61,7	260	84,3
Moravská Sázava	Lupěné	17	10:00	39	1,44	150	33	200	58,6	250	93,1
Morava	Moravičany*	17	05:30	78	6,82	230	81,3	270	103	300	119
Třebůvka	Loštice	17	08:20	75	1,61	150	16,3	180	26,4	220	44,4
Morava	Olomouc	14	08:20	89	6,39	360	147	390	170	430	204
Vsetínská Bečva	Jarcová	23	01:10	70	4,22	260	171	320	236	370	292
Rožnovská Bečva	Valašské Meziříčí	23	04:40	103	2,27	200	60,5	250	108	290	150
Bečva	Dluhonice	24	08:20	129	10,1	370	193	450	258	530	348

** Měřená data ve stanici jsou ovlivněna.*

*** Provizorní stanice*

**** Vlivem místních poměrů ve stanici není měření zejména při nízkých hladinách vody přesné.*

Tab. 6 Průměrné měsíční průtoky ve sledovaných profilech - srovnání s dlouhodobým průměrem

Tok	Stanice	Průměrný měsíční průtok Q [m^3/s]	Dlouhodobý průměr Q_M [m^3/s]	Q v % dlouhodobého průměru % Q_M	Průměrná měsíční vodnost Q_d	Hranice sucha Q_{355}
Odra	Svinov	1,2	10	12	330	1,06
Opava	Krnov	0,71	3	24	355	0,759
Opavice	Krnov***	0,061	1	6	364	0,0874
Opava	Opava	0,51	4,9	10	364	1,07
Valšov	Moravice	0,71	1,8	39	330	0,668
Opava	Děhylov	2,7	11	25	330	2,6
Ostravice	Frýdek-Místek	2	7,2	28	270	1,04
Ostravice	Ostrava	3,4	12	28	330	2,7
Odra	Bohumín	8,8	35	25	330	8,36
Olše	Český Těšín	1,5	6,5	23	300	0,758
Olše	Věřňovice	3,9	14	28	300	2,89
Osoblaha	Osoblaha	0,1	1,2	8	330	0,0796
Vidnava	Vidnávka	0,47	1,5	31	300	0,309
Bělá	Mikulovice**					
Morava	Raškov	1,4	4	35	355	1,46
Desná	Šumperk	0,79	2,4	33	355	1,02
Moravská Sázava	Lupěné	0,49	1,9	26	330	0,449
Morava	Moravičany*	3,1	9,3	33	355	3,45
Třebůvka	Loštice	0,48	1,6	30	355	0,518
Morava	Olomouc	3,2	14	23	364	4,47
Vsetínská Bečva	Jarcová	1,1	6,1	18	330	0,876
Rožnovská Bečva	Valašské Meziříčí	0,45	3	15	300	0,266
Bečva	Dluhonice	2,1	12	18	330	1,78

** Měřená data ve stanici jsou ovlivněna.*

*** Provizorní stanice*

**** Vlivem místních poměrů ve stanici není měření zejména při nízkých hladinách vody přesné.*

Vyhodnocení stavu podzemních vod v září 2026

Stav hladiny v mělkých i hlubokých vrtech, stejně jako vydatnost pramenů, jsou hodnoceny pomocí indexu SGI (Metodika pro stanovení mezních hodnot indikátorů hydrologického sucha, 2014), kdy je empirická měsíční křivka překročení (KPm) aproximována teoretickou distribuční funkcí. Kategorie stavu podzemních vod jsou vymezeny pravděpodobností překročení 95, 85, 75, 25, 15 a 5 %. Sedm kategorií reprezentuje mimořádně (≥ 95 %), silně (85–95 %), mírně podnormální (75–85 %), normální (25–75 %), mírně (25–15 %), silně (15–5 %), mimořádně (≤ 5 %) nadnormální stav.

Druhým ukazatelem, který je použit při vyhodnocení stavu podzemních vod, je intenzita změny oproti minulému měsíci a stejnému měsíci loňského roku. Při vyhodnocení povodí je použito procentuálního zhodnocení.

Mělké vrty

Hladina podzemní vody v mělkých vrtech byla v září na území ČR celkově mimořádně podnormální. Z hlediska hladiny se jednalo o vůbec nejsušší září od roku 1981. V dílčích povodích, která spadají pod územní působnost pobočky Ostrava, vykazovala hladina podzemní vody v mělkých vrtech převážně podnormální, v některých povodích až mimořádně podnormální stav. Nejhorší situace panovala v povodí horní Moravy, kde byl na většině objektů pozorován podnormální stav hladiny, z toho u 47 % mimořádně, u 26 % silně a u 16 % mírně podnormální. Výrazně negativní stav byl zaznamenán také v povodí Bečvy (40 % mimořádně a 30 % silně podnormální hladina) a v povodí Bělé a Osoblahy (33 % mimořádně a 33 % silně podnormální hladina). Normální stav hladiny podzemní vody byl nejčastěji dosahován v povodí Bělé a Osoblahy (33 % objektů) a v povodí Odry (31 %). V menší míře pak normální hodnoty vykazovaly měřicí objekty v povodí Olše a Ostravice (15 %), horní Moravy (11 %), Bečvy (10 %) a Opavy (8 %). Nadnormální stav hladiny podzemní vody nebyl v mělkých vrtech v září zaznamenán v žádném z povodí v působnosti pobočky Ostrava.

Tab. 7 Stav hladin ve vrtech hodnocený podle pravděpodobnosti překročení v % objektů

Povodí	Mimořádně podnormální hladina	Silně podnormální hladina	Mírně podnormální hladina	Normální hladina	Mírně nadnormální hladina	Silně nadnormální hladina	Mimořádně nadnormální hladina
Odra	15	38	15	31	0	0	0
Olše a Ostravice	8	38	38	15	0	0	0
Opava	23	38	31	8	0	0	0
Bělá a Osoblaha	33	33	0	33	0	0	0
horní Morava	47	26	16	11	0	0	0
Bečva	40	30	20	10	0	0	0

Ve srovnání s předchozím měsícem (srpen 2026) stav hladiny podzemní vody na většině objektů v působnosti pobočky Ostrava stagnoval nebo mírně poklesl. Ke stagnaci až mírnému poklesu došlo na všech objektech (100 %) v povodí Opavy a u naprosté většiny v povodí Odry (85 %) a Bečvy (70 %). V povodí Bělé a Osoblahy vykazovala polovina objektů (50 %) stagnaci až mírný pokles a druhá polovina (50 %) stagnaci až mírný vzestup. K přímému vzestupu hladiny došlo pouze v ojedinělých případech, a to v povodí Odry (9 % objektů) a Olše a Ostravice (8 %). Pokles nebyl u mělkých vrtů v tomto měsíci na území ostravské pobočky zaznamenán vůbec.

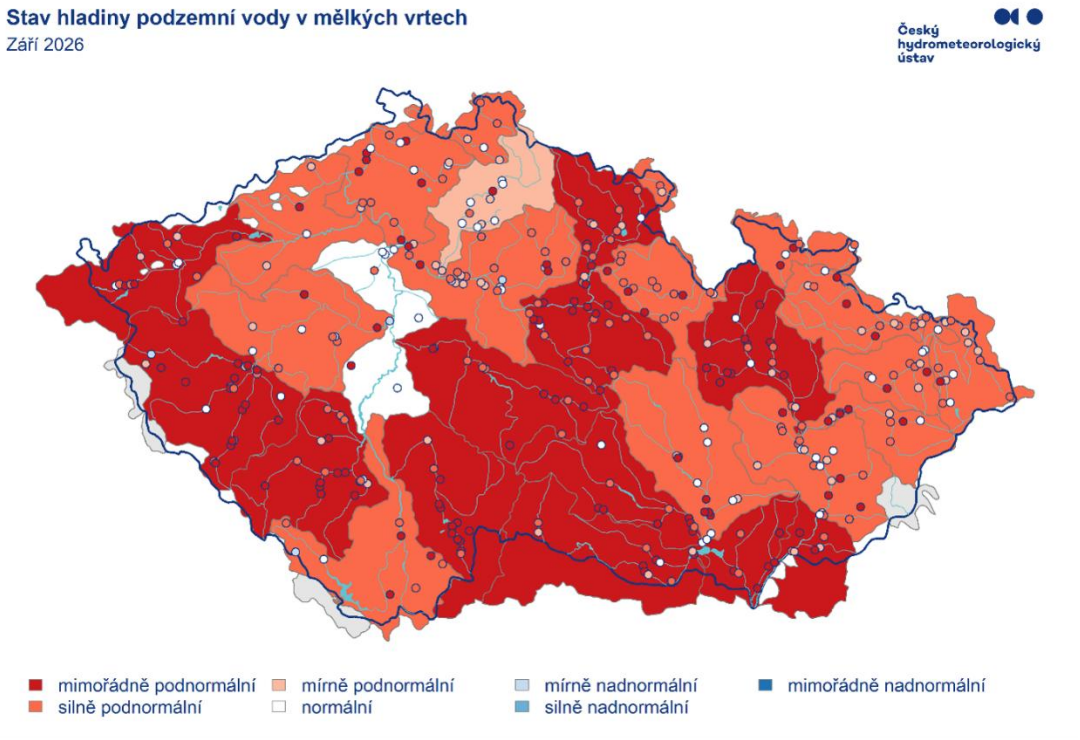
Tab. 8 Porovnání hladiny ve vrtech s předchozím měsícem v % objektů

Povodí	Výrazný pokles	Pokles	Stagnace až mírný pokles	Stagnace až mírný vzestup	Vzestup	Výrazný vzestup
Odra	0	0	85	15	9	0
Olše a Ostravice	0	0	69	23	8	0
Opava	0	0	100	0	0	0
Bělá a Osoblaha	0	0	50	50	0	0
horní Morava	0	0	68	32	0	0
Bečva	0	0	70	30	0	0

Meziročně hladina v mělkých vrtech v září převážně poklesla a stav se celkově zhoršil. Nejvýraznější zhoršení v porovnání s předchozím rokem nastalo v povodí Bečvy, kde klesla hladina u 70 % objektů a k výraznému poklesu došlo u 10 % objektů. Výrazný pokles hladiny byl ve značné míře zaznamenán také v povodí horní Moravy (21 % výrazný pokles, 53 % pokles) a v povodí Bělé a Osoblahy (33 % pokles, 50 % stagnace až mírný pokles). K určitému zlepšení ve formě stagnace až mírného vzestupu došlo nejvíce v povodí Bělé a Osoblahy (17 %) a posléze v povodí Opavy, kde celkem 16 % objektů zaznamenalo vzestup nebo stagnaci až mírný vzestup.

Tab. 9 Porovnání hladiny ve vrtech se stejným měsícem předchozího roku v % objektů

Povodí	Výrazný pokles	Pokles	Stagnace až mírný pokles	Stagnace až mírný vzestup	Vzestup	Výrazný vzestup
Odra	8	15	77	0	0	0
Olše a Ostravice	8	23	69	0	0	0
Opava	8	23	54	8	8	0
Bělá a Osoblaha	0	33	50	17	0	0
horní Morava	21	53	26	0	0	0
Bečva	10	70	20	0	0	0



Obr. 10 Stav hladiny podzemní vody v mělkých vrtech v září 2026. Vztaženo k referenčnímu období 1991–2020, ve skupinách povodí.

Aktuální informace o stavu PZV v mělkých vrtech naleznete na https://hydro.chmi.cz/hpps/pzv?id=melkevrty.

Prameny

Vydatnost pramenů byla v září na území ČR celkově mimořádně podnormální a z pohledu stavu vydatnosti se jednalo o nejsušší září od roku 1981. Ve všech povodích v působnosti pobočky Ostrava byly naměřeny podnormální hodnoty, přičemž nadnormální vydatnost pramenů nebyla v září zaznamenána ani na jednom objektu. Normální vydatnost se vyskytovala pouze v povodí Olše a Ostravice (40 %) a v povodí horní Moravy (17 %), v ostatních povodích nebyly normální hodnoty zjištěny vůbec. Nejhůře na tom bylo povodí horní Moravy, kde 50 % objektů vykazovalo mimořádně podnormální a 17 % silně podnormální vydatnost, a dále povodí Opavy s 40 % mimořádně a 40 % silně podnormální vydatností. Nepříznivá situace byla i v povodí Odry, kde celých 100 % sledovaných pramenů mělo silně podnormální vydatnost, a v povodí Bělé a Osoblahy (83 % silně a 17 % mimořádně podnormální vydatnost).

Tab. 10 Vydatnost pramenů hodnocená podle pravděpodobnosti překročení v % objektů

Povodí	Mimořádně podnormální vydatnost	Silně podnormální vydatnost	Mírně podnormální vydatnost	Normální vydatnost	Mírně nadnormální vydatnost	Silně nadnormální vydatnost	Mimořádně nadnormální vydatnost
Odra	0	100	0	0	0	0	0
Olše a Ostravice	0	20	40	40	0	0	0
Opava	40	40	20	0	0	0	0
Bělá a Osoblaha	17	83	0	0	0	0	0
horní Morava	50	17	17	17	0	0	0
Bečva	25	50	25	0	0	0	0

Ve srovnání s předchozím měsícem se vydatnost pramenů dále zmenšovala nebo stagnovala a celkový stav zůstal mimořádně podnormální. V zájmovém území pobočky Ostrava stav u naprosté většiny objektů stagnoval s mírným poklesem. Stagnace až mírný pokles vydatnosti byla pozorována plošně ve všech dílčích povodích: v povodí Olše a Ostravice a Opavy shodně dosáhl 80 %, v povodí Bečvy 75 % a v povodích Bělé a Osoblahy, horní Moravy a Odry rovných 67 %. V povodí Odry se k tomuto trendu navíc přidal i pokles vydatnosti u 17 % objektů. Stagnace až mírný vzestup se objevila u menšiny objektů, a to v rozmezí 17 až 33 % napříč všemi povodími.

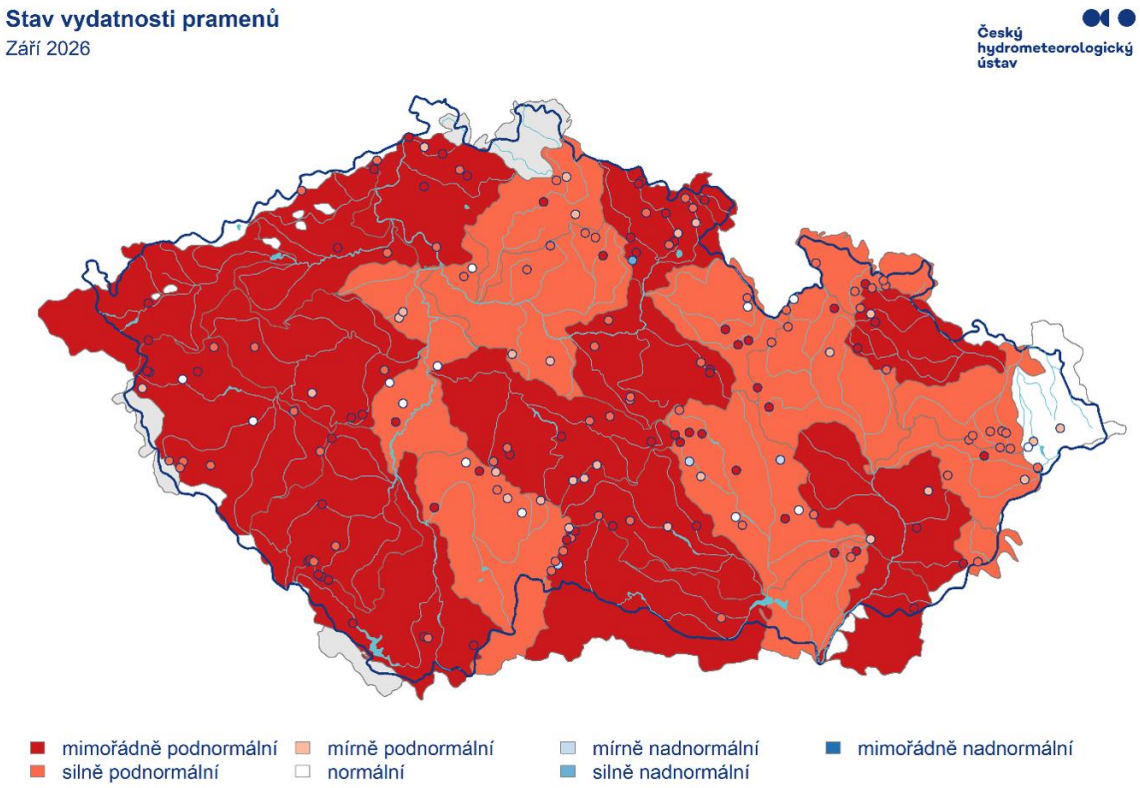
Tab. 11 Porovnání vydatnosti pramenů s předchozím měsícem v % objektů

Povodí	Výrazný pokles	Pokles	Stagnace až mírný pokles	Stagnace až mírný vzestup	Vzestup	Výrazný vzestup
Odra	0	17	67	17	0	0
Olše a Ostravice	0	0	80	20	0	0
Opava	0	0	80	20	0	0
Bělá a Osoblaha	0	0	67	33	0	0
horní Morava	0	0	67	33	0	0
Bečva	0	0	75	25	0	0

Při porovnání stavu vydatnosti pramenů se stejným měsícem minulého roku (září 2025) jsme zaznamenali převážně zhoršení nebo stagnaci vydatnosti v různém rozsahu. Nejhorší výsledek přineslo povodí Odry, kde byl zjištěn výrazný pokles vydatnosti u 33 % pramenů. K poklesu vydatnosti došlo také v povodí horní Moravy (33 %), Bečvy (25 %) a Olše a Ostravice (20 %). V povodí Bělé a Osoblahy došlo plošně na všech sledovaných objektech (100 %) ke stagnaci až mírnému poklesu. Relativně stabilnější situace panovala pouze v povodí Opavy, kde u 40 % objektů vydatnost stagnovala až mírně stoupla.

Tab. 12 Porovnání vydatnosti pramenů se stejným měsícem předchozího roku v % objektů

Povodí	Výrazný pokles	Pokles	Stagnace až mírný pokles	Stagnace až mírný vzestup	Vzestup	Výrazný vzestup
Odra	33	0	67	0	0	0
Olše a Ostravice	0	20	80	0	0	0
Opava	0	0	60	40	0	0
Bělá a Osoblaha	0	0	100	0	0	0
horní Morava	0	33	67	0	0	0
Bečva	0	25	75	0	0	0



Obr. 11 Vydatnost pramenů v září 2026. Vztaženo k referenčnímu období 1991–2020, ve skupinách povodí.

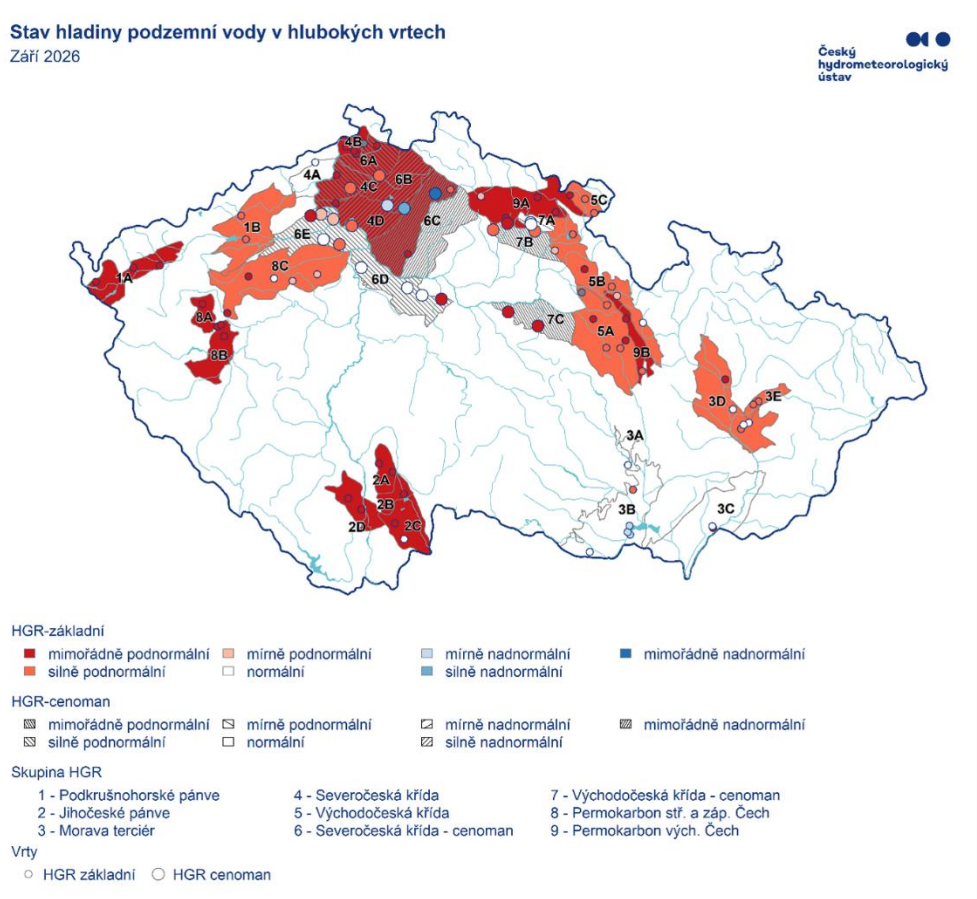
Aktuální informace o stavu PZV v pramenech naleznete na https://hydro.chmi.cz/hpps/pzv?id=prameny.

Hluboké vrty

V případě hlubokých vrtů se stalo září 2026 již šestým měsícem v řadě s vůbec nejhorším stavem (největší zápornou odchylkou od měsíčního normálu) od počátku hodnocené řady, tedy od roku 1991. Výrazně horší je přitom stav v Čechách, na jihu Moravy naopak dosud trvá lepší stav hladiny od povodní v září 2024.

V rámci působnosti pobočky Ostrava byl stav hlubokých vrtů následující. Hladina podzemní vody byla v září mimořádně podnormální v oblasti východočeské křídy (5A, 5B) a v permokarbonu východních Čech (9B). Silně podnormální stav byl zaznamenán v některých částech moravského terciéru (3D, 3E). Normální hodnoty hladiny byly naopak pozorovány v dalších částech moravského terciéru (3A, 3C), přičemž v oblasti (3B) byla naměřena dokonce mírně nadnormální hladina.

V porovnání s předchozím měsícem se celkově podíl vrtů v jednotlivých kategoriích v rámci ČR výrazně nezměnil. V meziročním porovnání se stejným měsícem minulého roku se však stav hladiny v celé ČR celkově zhoršil. Pokles nebo velký pokles hladiny zaznamenalo v rámci republiky 47 % vrtů, naproti tomu vzestup nebo velký vzestup hladiny nezaznamenal žádný vrt. Při interpretaci výsledků je třeba brát v úvahu, že hodnocení hlubokých zvodní je prováděno na menším počtu vrtů a často na kratších pozorovaných řadách než vyhodnocování mělkých vrtů a pramenů.



Obr. 12 Stav hladiny podzemní vody v hlubokých vrtech v září 2026. Vztaženo k referenčnímu období 1991–2020

Aktuální informace o stavu PZV v hlubokých vrtech naleznete na https://hydro.chmi.cz/hpps/pzv?id=hlubokevrty.

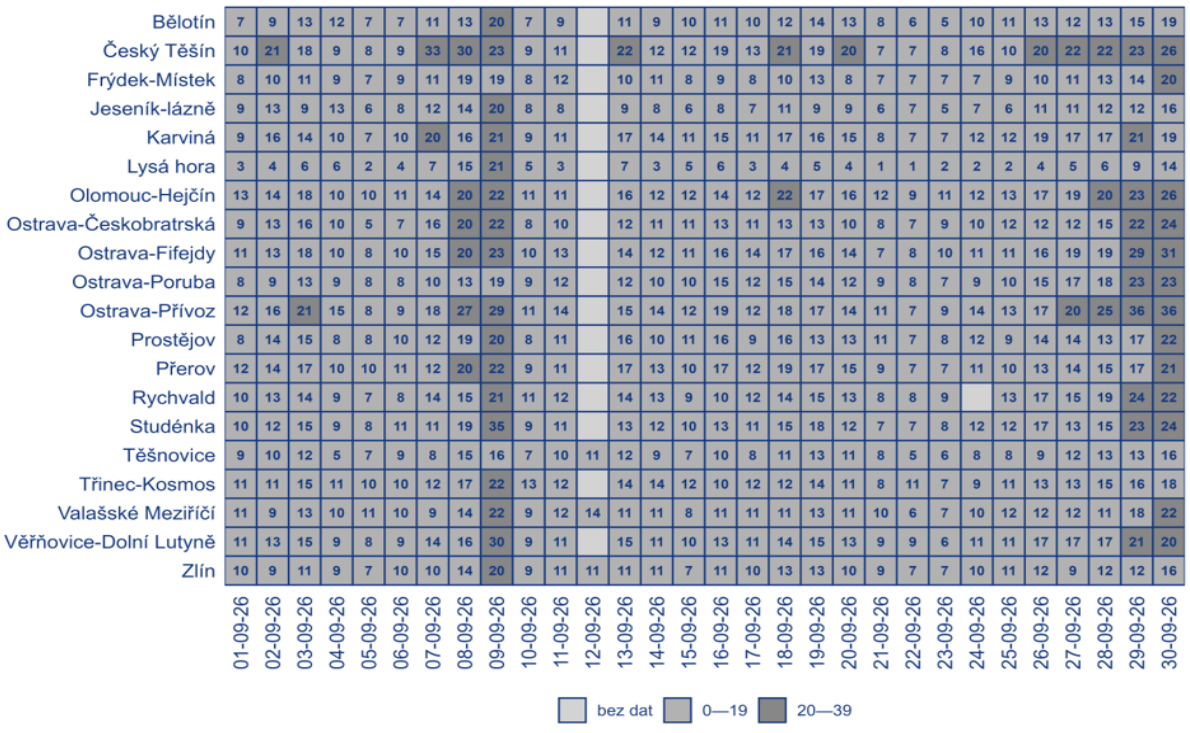
Kvalita ovzduší

Suspendované částice

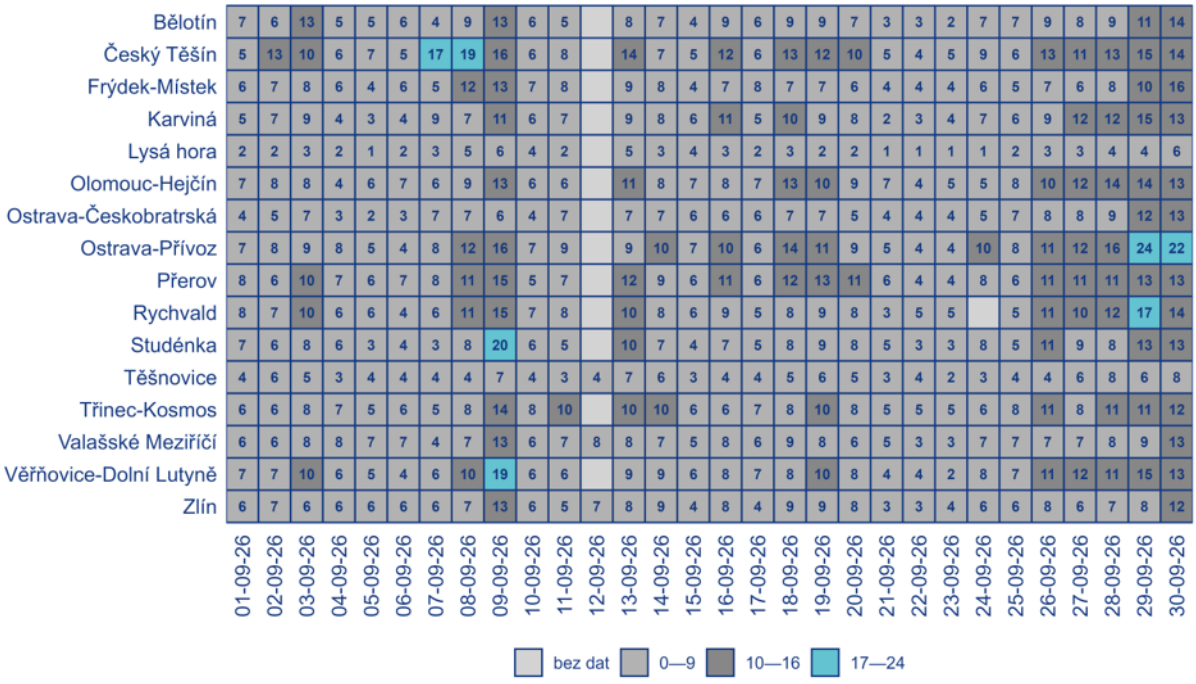
V září 2026 nebyla na území Moravskoslezského, Olomouckého a Zlínského kraje překročena denní limitní hodnota 50 µg.m^{-3} pro suspendované částice PM_{10} (obr. 15) na žádné stanici. Nejvyšší denní koncentrace suspendovaných částic v jednotlivých krajích shrnuje tab. 13.

Tab. 13 Tři nejvyšší průměrné denní koncentrace suspendovaných částic, září 2026 (µg.m^{-3})

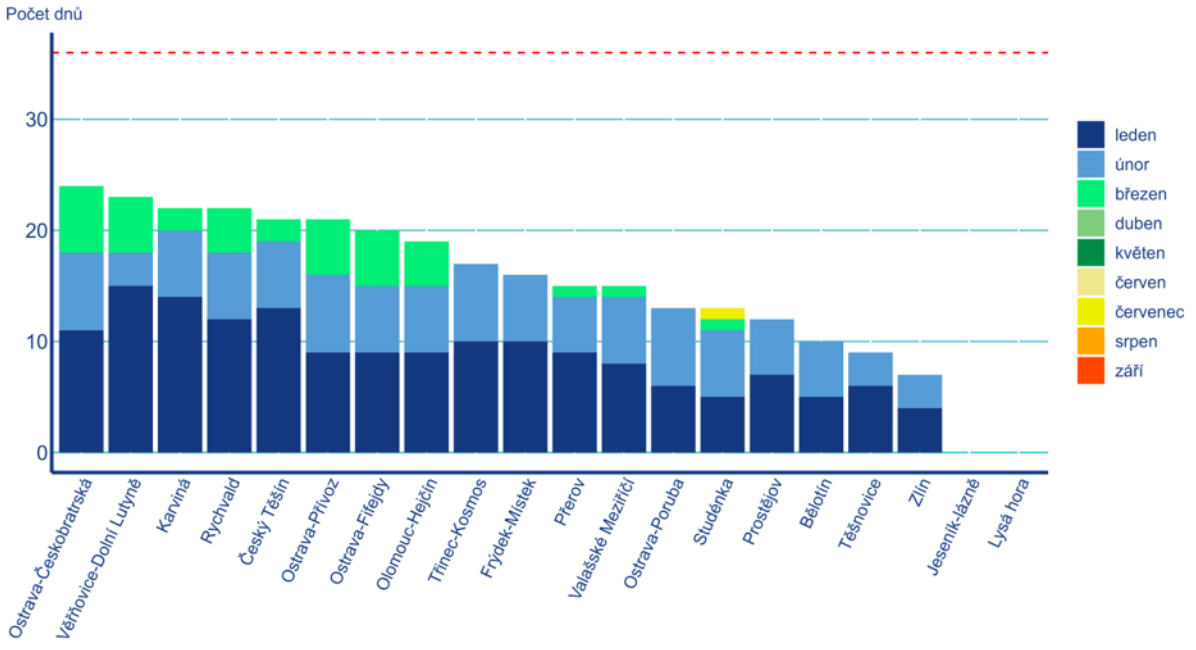
Látka	Stanice	Datum	Hodnota
PM_{10}	Ostrava-Přívoz	29. 9.	36
	Ostrava-Přívoz	30. 9.	36
	Studénka	9. 9.	35
$PM_{2,5}$	Ostrava-Přívoz	29. 9.	24
	Ostrava-Přívoz	30. 9.	22
	Studénka	9. 9.	20



Obr. 13 Průměrné denní koncentrace PM_{10} v µg.m^{-3}, září 2026

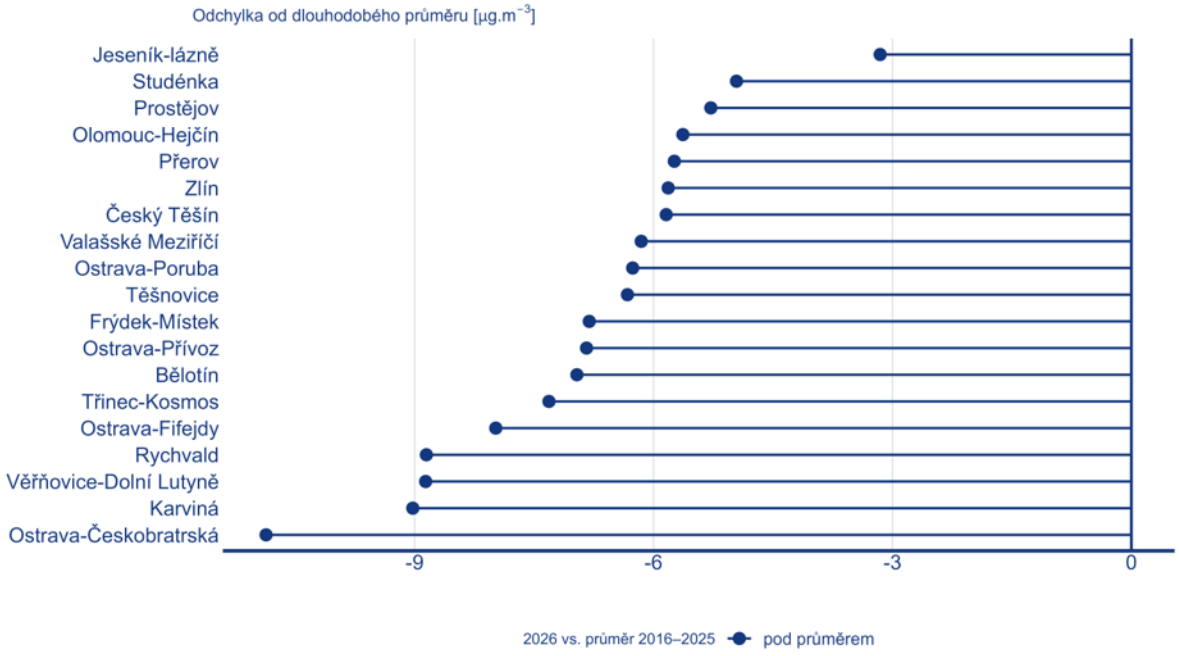


Obr. 14 Průměrné denní koncentrace $PM_{2.5}$ v $\mu g.m^{-3}$, září 2026

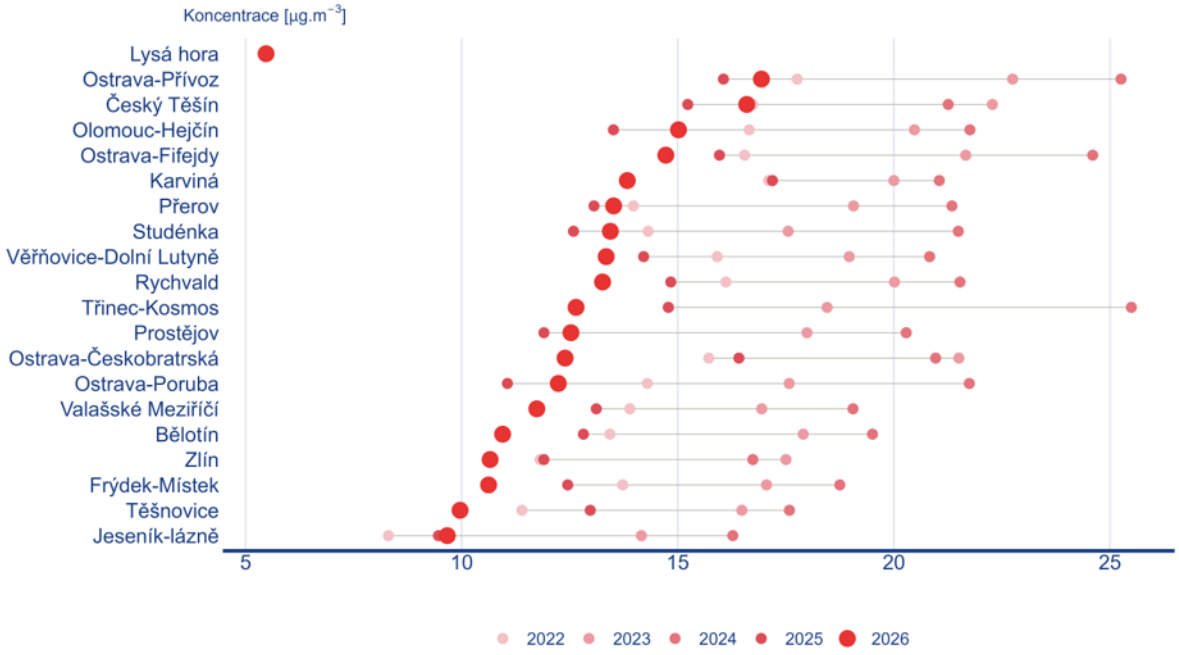


Obr. 15 Počet dnů, kdy průměrná denní koncentrace PM_{10} překročila hodnotu imisního limitu (50 $\mu g.m^{-3}$), 2026

V meziročním srovnání ukazuje odchylku měsíčních koncentrací PM_{10} od dlouhodobého průměru obr. 16; rozložení hodnot v jednotlivých letech pak obr. 17. U následujících stanic je dlouhodobý průměr počítán z nekompletní řady (méně než 10 let): Ostrava-Českobratrská (9).

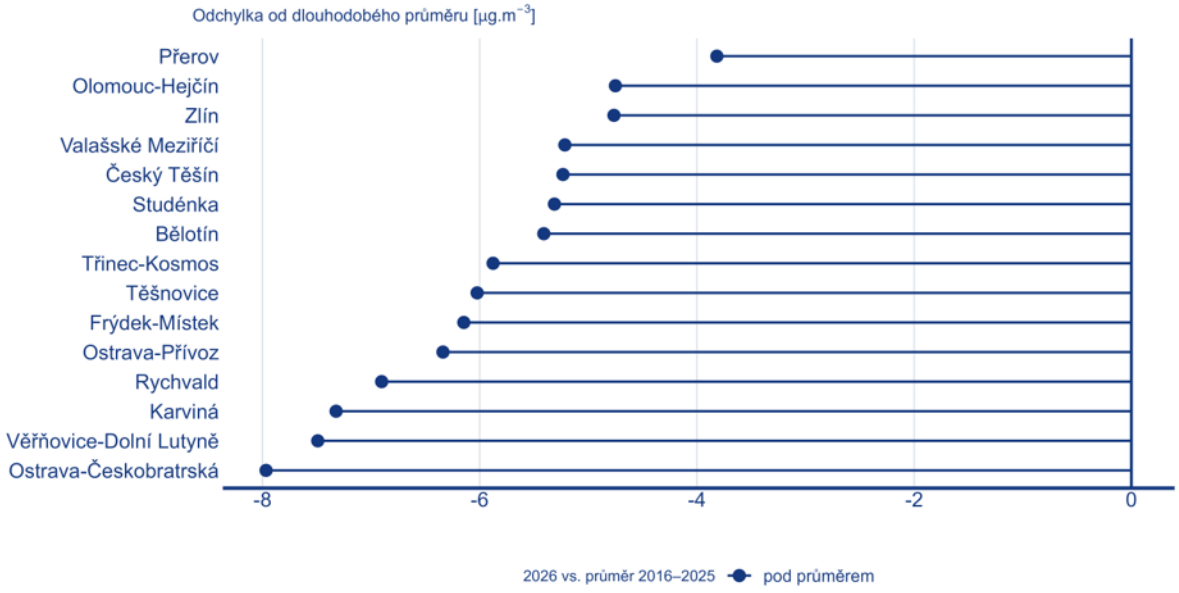


Obr. 16 Odchylka průměrné měsíční koncentrace PM_{10} v září 2026 od dlouhodobého průměru 2016–2025

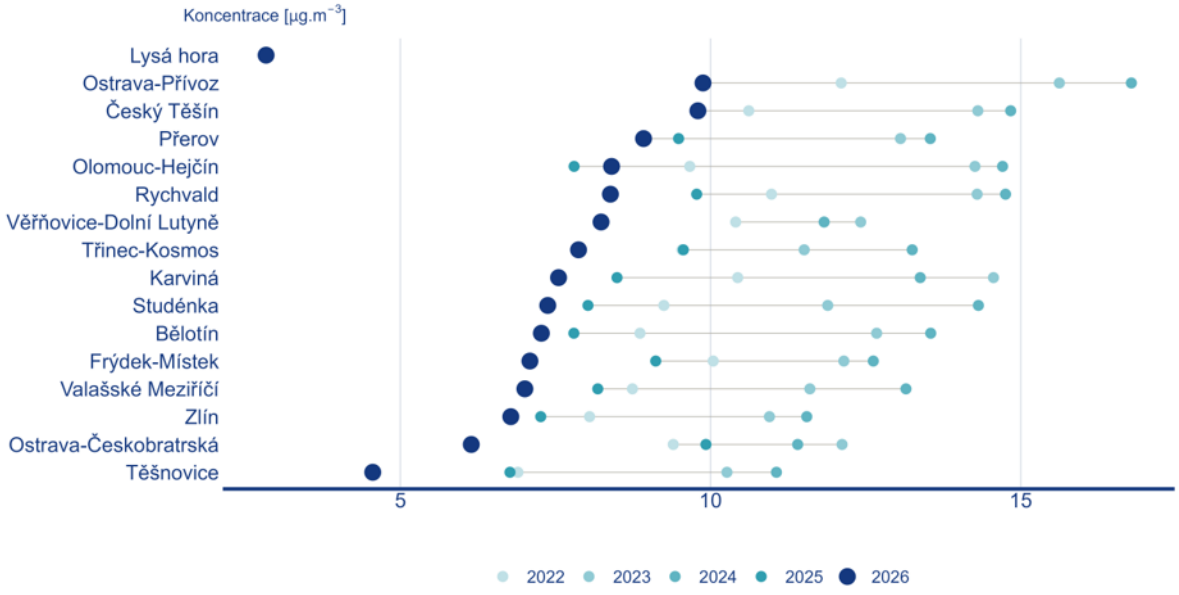


Obr. 17 Průměrné měsíční koncentrace PM_{10} po letech, září 2022–2026

U částic $PM_{2,5}$ ukazuje odchylku od dlouhodobého průměru obr. 18 a rozložení po letech obr. 19. U následujících stanic je dlouhodobý průměr počítán z nekompletní řady (méně než 10 let): Ostrava-Českobratrská (9), Věřňovice-Dolní Lutyně (9).



Obr. 18 Odchylka průměrné měsíční koncentrace $PM_{2,5}$ v září 2026 od dlouhodobého průměru 2016–2025



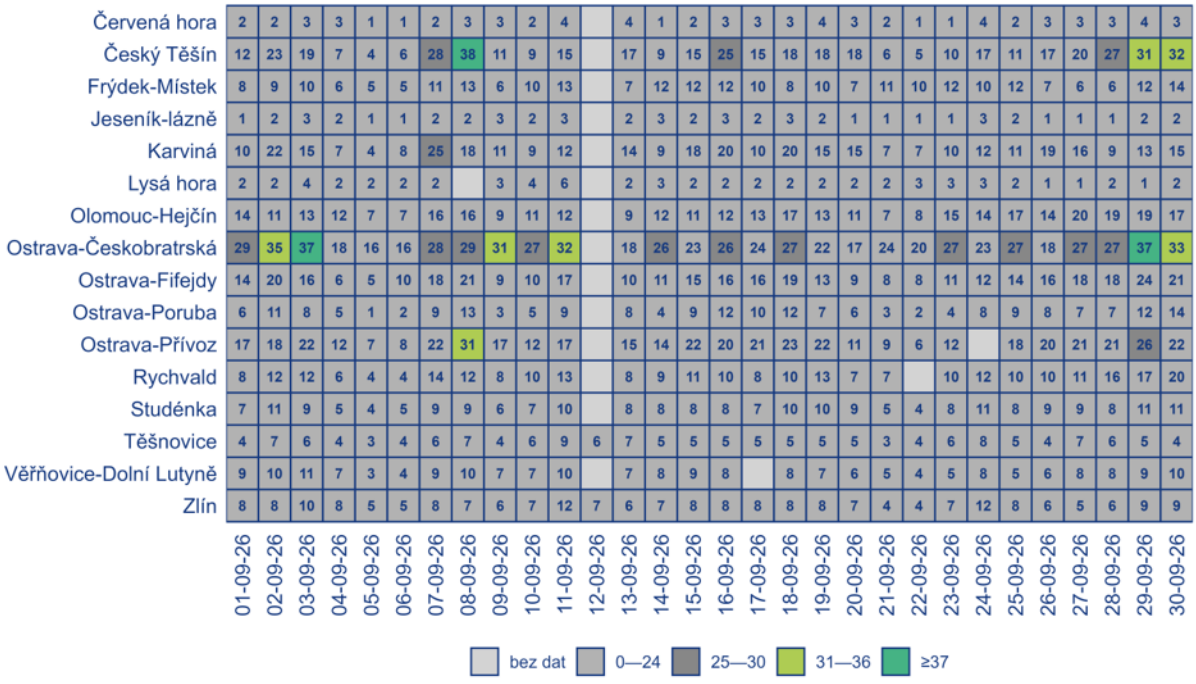
Obr. 19 Průměrné měsíční koncentrace $PM_{2,5}$ po letech, září 2022–2026

Plynné znečišťující látky

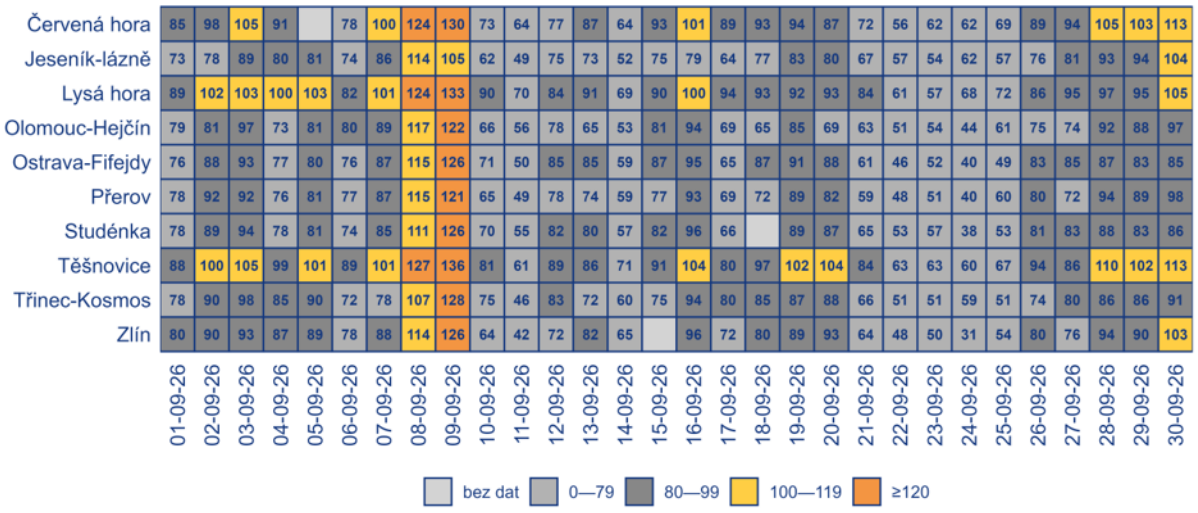
Nejvyšší denní koncentrace plynných látek v jednotlivých krajích shrnuje tab. 14. U přízemního ozonu byla limitní hodnota 120 µg.m^{-3} v září překročena na 9 stanicích z 10 stanic, na kterých se přízemní ozon měří.

Tab. 14 Tři nejvyšší průměrné denní koncentrace, září 2026 (µg.m $^{-3}$)

Látka	Stanice	Datum	Hodnota
NO_2	Český Těšín	8. 9.	38
	Ostrava-Českobratrská	3. 9.	37
	Ostrava-Českobratrská	29. 9.	37
O_3	Těšnovice	9. 9.	136
	Lysá hora	9. 9.	133
	Červená hora	9. 9.	130

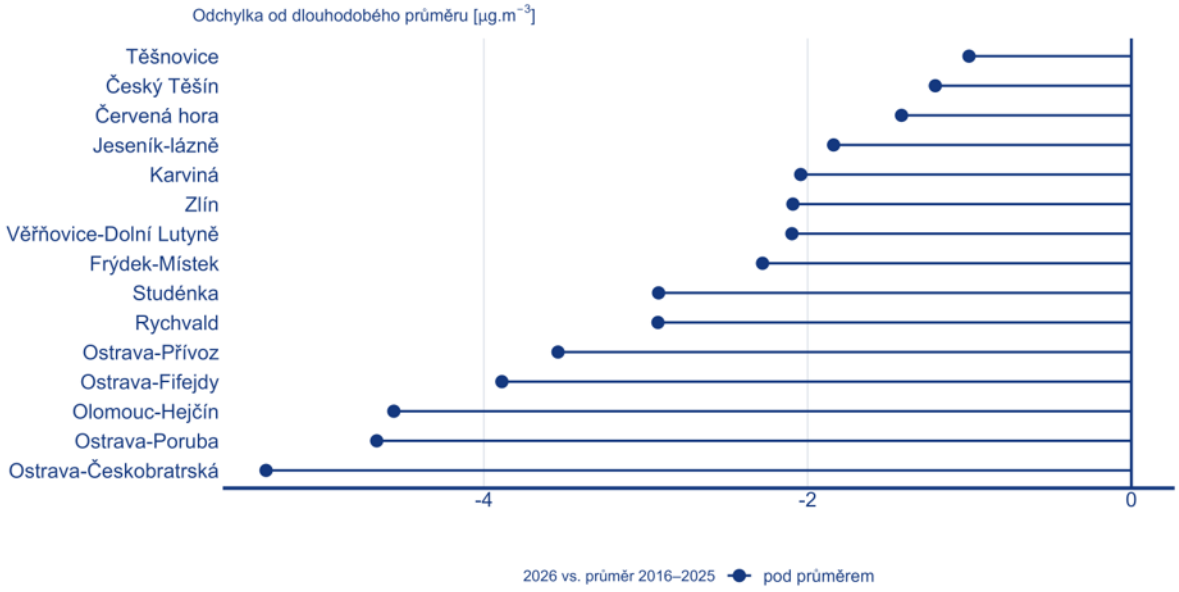


Obr. 20 Průměrné denní koncentrace NO_2 v µg.m^{-3}, září 2026

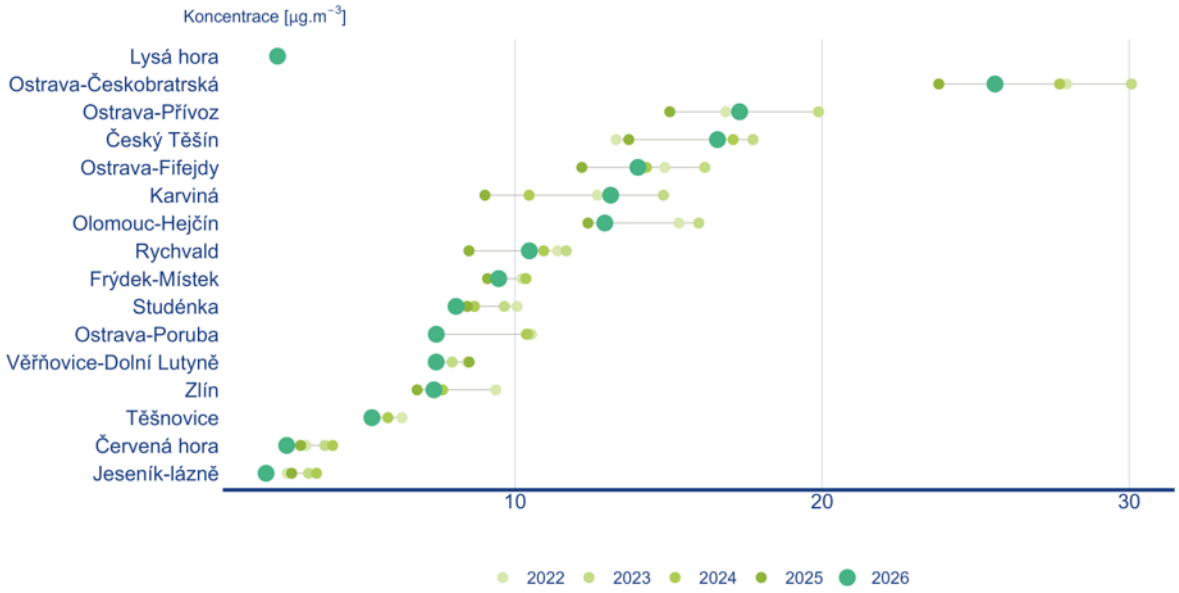


Obr. 21 Maximální denní 8hodinový klouzavý průměr koncentrace přízemního O_3 v $\mu g.m^{-3}$, září 2026

Odchylku měsíčních koncentrací NO_2 od dlouhodobého průměru ukazuje obr. 22, rozložení po letech obr. 23. U následujících stanic je dlouhodobý průměr počítán z nekompletní řady (méně než 10 let): Jeseník-lázně (9), Ostrava-Českobratrská (9).

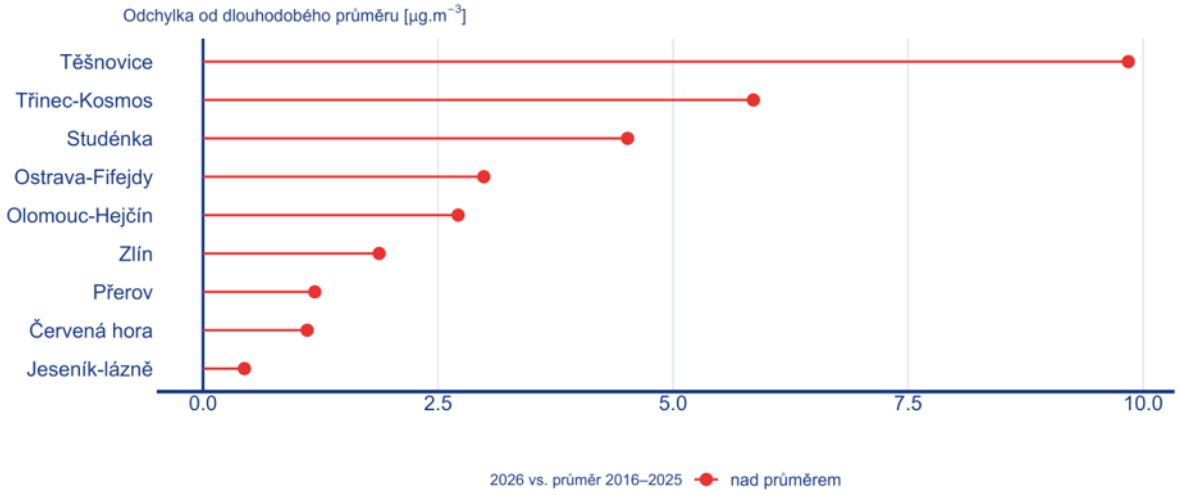


Obr. 22 Odchylka průměrné měsíční koncentrace NO_2 v září 2026 od dlouhodobého průměru 2016–2025

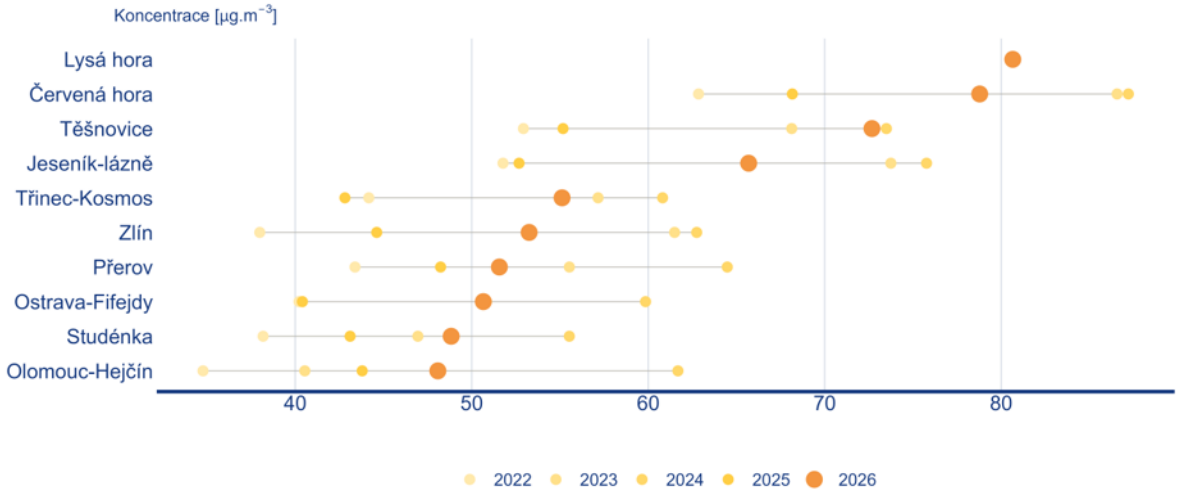


Obr. 23 Průměrné měsíční koncentrace NO_2 po letech, září 2022–2026

Odchylku měsíčních koncentrací O_3 od dlouhodobého průměru ukazuje obr. 24, rozložení po letech obr. 25. U následujících stanic je dlouhodobý průměr počítán z nekompletní řady (méně než 10 let): Olomouc-Hejčín (5).



Obr. 24 Odchylka průměrné měsíční koncentrace O_3 v září 2026 od dlouhodobého průměru 2016–2025



Obr. 25 Průměrné měsíční koncentrace O3 po letech, září 2022–2026

Nové předpovědní profily na stránkách Hlásné a předpovědní povodňové služby

Na webových stránkách Hlásné a předpovědní povodňové služby (HPPS) jsou od září 2026 nově publikovány hydrologické předpovědi pro dvě vodoměrné stanice, a to Vidnava na Vidnávce v povodí Vidnávky a Valšov na Moravici v povodí Moravice. Tyto lokality byly vybrány na základě zkušeností z povodní v září 2024 jako oblasti, ve kterých dosud chyběla operativní hydrologická předpověď. Nové stanice proto rozšiřují pokrytí předpovědní sítě v místech, kde byly informace o očekávaném vývoji vodních stavů a průtoků dosud omezené.

Vodoměrná stanice Vidnava je umístěná na levém břehu toku Vidnávky ve městě Vidnava. Stanice začala pozorovat vodní stav již od roku 1910, Jedná se o uzávěrovou stanici na Vidnávce, přítok Kladské Nisy, odvodňující část Rychlebských hor. Na obr. 26 je ukázána situace na stanici po povodni v září 2024.

Vodoměrná stanice Valšov leží na levém břehu Moravice v obci Valšov. Stanice začala pozorovat od roku 1992 a v současné době stanice slouží ke sledování přítoku do nádrže Slezská Harta. Ukázka hydrologické předpovědi na stránkách HPPS je zobrazena na obr. 27.



Obr. 26 Vodoměrná stanice Vidnava po povodni v září 2024 (foto: OH ČHMÚ).

HPPS (https://hydro.chmi.cz/) slouží k průběžnému sledování hydrologické situace, poskytuje aktuální údaje o vodních stavech a průtocích a zveřejňuje předpovědi jejich dalšího vývoje. Zařazením stanic Vidnava a Valšov do systému se zvyšuje dostupnost důležitých informací pro odborné pracovníky, krizové orgány i veřejnost a současně se posiluje schopnost včasného varování a efektivního rozhodování při povodňových i jiných mimořádných hydrologických událostech.

Hydrologické předpovědi jsou důležitým nástrojem pro plánování a ochranu před povodněmi či suchem. Moderní předpovědní modely často využívají pravděpodobnostní přístup, kdy výsledky nejsou prezentovány jako jediná hodnota (deterministická předpověď, v grafu na obr. 27 tmavě modrá čára), ale jako rozmezí pravděpodobnosti, které vyjadřují míru nejistoty v předpovědi.

Pravděpodobnostní hydrologická předpověď je výsledkem výpočtu srážkoodtokového modelu, který simuluje 17 variant vývoje hydrologické situace na základě meteorologického modelu ALADIN-LAEF, který předpovídá 17 scénářů vývoje počasí (např. srážek a teplot) v následujících 66 hodinách. Výsledkem pravděpodobnostní hydrologické předpovědi je tak místo jedné konkrétní hodnoty rozmezí výsledků, které jsou rozděleny podle pravděpodobnosti jejich výskytu (viz intervaly pravděpodobnosti na obr. 27).



Obr. 27 Hydrologická předpověď pro stanici Valšov (Moravice) prezentována na stránkách HPPS (https://hydro.chmi.cz).